

26. 重力の働ける半無限弾性體の内部に存在する空窩の内面に作用する力によつて起される變形及び應力問題 (其の 1)

地震研究所 西村源六郎

(昭和 9 年 5 月 15 日發表—昭和 9 年 6 月 20 日受理)

1. 地殻内部に空窩がある場合に、この空窩内の壓力が何かの原因で増加した場合地殻内部或はその表面ではどのような變形が起るか、又地殻内部の應力にはどのような變化を生じ、どのような所から破損が起り始めるか等の研究は地震現象殊に地震の原因等を研究する上に於て大切なものであると思ふ。妹澤教授¹⁾は半無限弾性體内に存する多重原の力核による表面の變形問題を理論的に研究された。著者の研究は全く同教授の論文に負ふ所が多い。重力の働いてゐる半無限弾性體内に球状をした空窩がある場合、これに或る作用で力が加へられた場合、その附近での變形或は應力状態を研究し、又これに釣合ふ爲めにはその弾性體の表面には如何なる變形が起され、又應力分布はどのようなになるかを研究した。研究方法は新しいとは云へないかも知れないが、理論的には可なり解析的であつて、殊に、空窩内面に於ける條件を完全に弾性力學的に満足さす事の出來たのは、弾性理論的に見ても面白い事と思つてゐる。

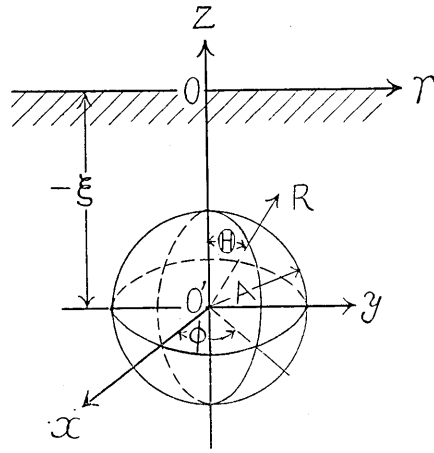
この研究報告は、豫備的なものであつて、次にはもつと一般的な問題にして研究して行く考である。即ち本論文では、空窩内面に作用する壓力分布が方位的には一様で變化のない場合を研究してあるが、次には、方位的にも變化のある場合を發表する考である。

第 1 章

2. さて密度 ρ 、重力による加速度 g なる地殻と考へられる半無限弾性體上に原點 O を有し、上向きが正である軸 Oz を圖の様に設ける。そして r は円筒座標 (r, z) に於ける半徑方向の坐標とする。表面 $z=0$ より $z=-\xi$ なる所に中心 O' を有する半徑 $R=A$ なる空窩を考へる。この $R=A$ なる球面に壓力 P が作用するとする。

1) 妹澤克惟 地震研究所彙報 9 (1931), 398.

P は勿論圖で見る様に球座標 (R, θ, ϕ) による時 θ の任意の函数であつて $P=f(\theta)$ と考へる. 勿論 R は球座標による半徑方向, θ は $O'z$ を軸とする時これと $\theta=\theta$ なる圓錐のなす頂角即ち餘緯角と考へる.



第 1 圖

先づ重力が作用してゐる爲, 表面 $z=0$ は弾性力學的に自由面であるが, 弾性體内部に入るに従つて重力による應力は次第に大となる理である. これを O' 點に源點を有する座標 (θ, R) によつて表はしてみると $-R$ 方向, θ 方向の變位 u, v , 及び應力の分力 $\widehat{R}R, \widehat{\theta}\theta, \widehat{\phi}\phi$ 及び $R\theta$ は次式で示される.

$$u = -\frac{\rho g \xi}{3(\lambda + 2\mu)} P_0(\cos \theta) + \left[\frac{\rho g \xi^2}{2(\lambda + 2\mu)} + \frac{3}{10} \frac{\rho g R^2}{(\lambda + 2\mu)} \right] P_1(\cos \theta) - \frac{2}{3} \frac{\rho g \xi R}{(\lambda + 2\mu)} P_2(\cos \theta) + \frac{1}{5} \frac{\rho g R^2}{(\lambda + 2\mu)} P_3(\cos \theta), \dots \dots \dots (1)$$

$$v = \left[\frac{\rho g \xi^2}{2(\lambda + 2\mu)} + \frac{1}{10} \frac{\rho g R^2}{(\lambda + 2\mu)} \right] \frac{\partial P_1(\cos \theta)}{\partial \theta} - \frac{\rho g \xi R}{3(\lambda + 2\mu)} \frac{\partial P_2(\cos \theta)}{\partial \theta} + \frac{\rho g R^2}{15(\lambda + 2\mu)} \frac{\partial P_3(\cos \theta)}{\partial \theta}, \dots \dots \dots (2)$$

$$\widehat{R}R = -\frac{(3\lambda + 2\mu)}{3(\lambda + 2\mu)} \rho g \xi P_0(\cos \theta) + \frac{(5\lambda + 6\mu)}{5(\lambda + 2\mu)} \rho g R P_1(\cos \theta) - \frac{4}{3} \frac{\mu \rho g \xi}{(\lambda + 2\mu)} P_2(\cos \theta) + \frac{4}{5} \frac{\mu \rho g R}{(\lambda + 2\mu)} P_3(\cos \theta), \dots \dots \dots (3)$$

$$\widehat{\theta}\theta = -\frac{(3\lambda + 2\mu)}{3(\lambda + 2\mu)} \rho g \xi P_1(\cos \theta) + \frac{(5\lambda + 3\mu)}{5(\lambda + 2\mu)} \rho g R P_1(\cos \theta) - \frac{4}{3} \frac{\mu \rho g \xi}{(\lambda + 2\mu)} P_2(\cos \theta) + \frac{2}{5} \frac{\mu \rho g R}{(\lambda + 2\mu)} P_3(\cos \theta) + \frac{1}{5} \frac{\mu \rho g R}{(\lambda + 2\mu)} \frac{\partial^2 P_1(\cos \theta)}{\partial \theta^2} - \frac{2}{3} \frac{\mu \rho g \xi}{(\lambda + 2\mu)} \frac{\partial^2 P_2(\cos \theta)}{\partial \theta^2} + \frac{2}{15} \frac{\mu \rho g R}{(\lambda + 2\mu)} \frac{\partial^2 P_3(\cos \theta)}{\partial \theta^2}, \dots \dots \dots (4)$$

$$\begin{aligned} \widehat{\phi\phi} = & -\frac{1}{3} \frac{(3\lambda+2\mu)}{(\lambda+2\mu)} \rho g \xi P_0(\cos\theta) + \frac{1}{5} \frac{(5\lambda+3\mu)}{(\lambda+2\mu)} \rho g R P_1(\cos\theta) \\ & - \frac{4}{3} \frac{\mu \rho g \xi}{(\lambda+2\mu)} P_2(\cos\theta) + \frac{2}{5} \frac{\mu \rho g R}{(\lambda+2\mu)} P_3(\cos\theta) \\ & + \frac{1}{5} \frac{\mu \rho g R}{(\lambda+2\mu)} \cot\theta \frac{\partial P_1(\cos\theta)}{\partial\theta} - \frac{2}{3} \frac{\mu \rho g \xi}{(\lambda+2\mu)} \cot\theta \frac{\partial P_2(\cos\theta)}{\partial\theta} \\ & + \frac{2}{15} \frac{\mu \rho g R}{(\lambda+2\mu)} \cot\theta \frac{\partial P_3(\cos\theta)}{\partial\theta}, \dots\dots\dots(5) \end{aligned}$$

$$\begin{aligned} \widehat{R\theta} = & \frac{2}{5} \frac{\mu \rho g R}{(\lambda+2\mu)} \frac{\partial P_1(\cos\theta)}{\partial\theta} - \frac{2}{3} \frac{\mu \rho g \xi}{(\lambda+2\mu)} \frac{\partial P_2(\cos\theta)}{\partial\theta} \\ & + \frac{4}{15} \frac{\mu \rho g R}{(\lambda+2\mu)} \frac{\partial P_3(\cos\theta)}{\partial\theta}. \dots\dots\dots(6) \end{aligned}$$

(1)~(6) に於て、 λ, μ は ラーメ氏の弾性係数である。勿論これ等の式は

$$\left. \begin{aligned} \frac{\partial \widehat{R}R}{\partial R} + \frac{1}{R} \frac{\partial \widehat{R}\theta}{\partial\theta} + \frac{1}{R} \{2\widehat{R}R - \widehat{\theta\theta} - \widehat{\phi\phi} + \widehat{R}\theta \cot\theta\} &= \rho g \cos\theta, \\ \frac{\partial \widehat{R}\theta}{\partial R} + \frac{1}{R} \frac{\partial \widehat{\theta\theta}}{\partial\theta} + \frac{1}{R} \{(\widehat{\theta\theta} - \widehat{\phi\phi}) \cot\theta + 3\widehat{R}\theta\} &= -\rho g \sin\theta \end{aligned} \right\} \dots(7)$$

なる弾性方程式を満足するものであり、且つ $z=0$ は自由面であると云ふ条件を満足するものである。

次に此れ等 (1)~(6) なる應力の作用してゐる時空窩内面 $R=A$ に壓力 P が作用する場合の應力問題即ち重力の作用せる場合壓力の作用によるこの弾性体内殊に空窩附近の應力問題を先づ解決しなければならない。それには先づこれ等の条件を満足さすに必要な弾性體の釣合方程式 (7) の解を求めなければならぬ。

さて一般に $\widehat{R}R, \widehat{\theta\theta}, \widehat{\phi\phi}, \widehat{R}\theta$ なる應力分力と變位 u, v とは次の關係で結ばれてゐる。

$$\left. \begin{aligned} \widehat{R}R &= \frac{\lambda}{R^2 \sin\theta} \left\{ \frac{\partial}{\partial R} (R^2 u \sin\theta) + \frac{\partial}{\partial\theta} (R v \sin\theta) \right\} + 2\mu \frac{\partial u}{\partial R}, \\ \widehat{\theta\theta} &= \frac{\lambda}{R^2 \sin\theta} \left\{ \frac{\partial}{\partial R} (R^2 u \sin\theta) + \frac{\partial}{\partial\theta} (R v \sin\theta) \right\} + 2\mu \left\{ \frac{1}{R} \frac{\partial v}{\partial\theta} + \frac{u}{R} \right\}, \\ \widehat{\phi\phi} &= \frac{\lambda}{R^2 \sin\theta} \left\{ \frac{\partial}{\partial R} (R^2 u \sin\theta) + \frac{\partial}{\partial\theta} (R v \sin\theta) \right\} + 2\mu \left\{ \frac{v}{R} \cot\theta + \frac{u}{R} \right\}, \\ \widehat{R}\theta &= \mu \left\{ \frac{\partial v}{\partial R} - \frac{v}{R} + \frac{1}{R} \frac{\partial u}{\partial\theta} \right\}. \end{aligned} \right\} \dots\dots\dots(8)$$

この關係を (7) に代入する時、方程式は

$$\left. \begin{aligned} (\lambda + 2\mu) \frac{\partial \Delta}{\partial R} - \frac{2\mu}{R} \frac{\partial \varpi}{\partial \theta} - \frac{2\mu}{R} \varpi \cot \theta &= \rho g \cos \theta, \\ (\lambda + 2\mu) \frac{1}{R} \frac{\partial \Delta}{\partial \theta} + 2\mu \frac{\partial \varpi}{\partial R} + 2\mu \frac{\partial \varpi}{R} &= -\rho g \sin \theta. \end{aligned} \right\} \dots\dots(9)$$

但し (9) に於て、

$$\left. \begin{aligned} \Delta &= \frac{1}{R^2 \sin \theta} \left\{ \frac{\partial}{\partial R} (R^2 u \sin \theta) + \frac{\partial}{\partial \theta} (R v \sin \theta) \right\}, \\ 2\varpi &= \frac{\partial v}{\partial R} + \frac{v}{R} - \frac{1}{R} \frac{\partial u}{\partial \theta}. \end{aligned} \right\} \dots\dots(10)$$

(9) を満足する Δ 及び 2ϖ の特解を

$$\left. \begin{aligned} \Delta &= \frac{\rho g R}{(\lambda + 2\mu)} P_1(\cos \theta), \\ 2\varpi &= 0. \end{aligned} \right\} \dots\dots\dots(11)$$

(9) の補解として必要なものを求めてみると、

$$\left. \begin{aligned} \Delta &= A_0 P_0(\cos \theta) + \frac{A_1'}{R^2} P_1(\cos \theta) + \frac{A_2'}{R^3} P_2(\cos \theta) \\ &\quad + \frac{A_3'}{R^2} P_3(\cos \theta) + \frac{D_n}{R^{n+1}} P_n(\cos \theta) \\ 2\varpi &= \frac{(\lambda + 2\mu)}{\mu} \frac{A_1'}{R^2} \frac{\partial P_1(\cos \theta)}{\partial \theta} + \frac{(\lambda + 2\mu)}{2\mu} \frac{A_2'}{R^3} \frac{\partial P_2(\cos \theta)}{\partial \theta} \\ &\quad + \frac{(\lambda + 2\mu)}{3\mu} \frac{A_3'}{R^2} \frac{\partial P_3(\cos \theta)}{\partial \theta} + \frac{(\lambda + 2\mu)}{n\mu} \frac{D_n}{R^{n+1}} \frac{\partial P_n(\cos \theta)}{\partial \theta}. \end{aligned} \right\} \dots\dots(12)$$

但し D_n は任意の常數であつて上式に於ける n は 1, 2, 3, ... なる正の整數であり、又 A_0, A_1' 及 A_2', A_3' も任意の常數である。

さて $R^2 u$ 及び $R v \sin \theta$ に關する微分方程式として、

$$\left. \begin{aligned} \frac{\partial^2 (R^2 u)}{\partial R^2} + \frac{1}{R^2 \sin \theta} \frac{\partial}{\partial \theta} \left\{ \sin \theta \frac{\partial (R^2 u)}{\partial \theta} \right\} &= \frac{\partial}{\partial R} (R^2 \Delta) - \frac{2R}{\sin \theta} \frac{\partial}{\partial \theta} (\sin \theta \varpi), \\ \frac{\partial}{\partial R} \left\{ R^2 \frac{\partial (R v \sin \theta)}{\partial R} \right\} + \frac{1}{\sin \theta} \frac{\partial}{\partial \theta} \left\{ \sin \theta \frac{\partial (R v \sin \theta)}{\partial \theta} \right\} &+ 2 \cot \theta \frac{\partial (R^2 u)}{\partial R} \\ &= \frac{R^2}{\sin \theta} \frac{\partial}{\partial \theta} (\sin^2 \theta \Delta) + 2 \sin \theta \frac{\partial}{\partial R} (R^3 \varpi) \end{aligned} \right\} \dots\dots\dots(13)$$

なる關係式を (10) から求める事が出来る, こゝに於て (11) を (13) に代入する時 R^2u 及 $Rv \sin \theta$ に就て (13) の特解を求める事が出来る. それは

$$\left. \begin{aligned} R^2u &= \frac{3}{10} \frac{\rho g R^4}{(\lambda + 2\mu)} P_1(\cos \theta) + \frac{1}{5} \frac{\rho g R^4}{(\lambda + 2\mu)} P_3(\cos \theta), \\ Rv \sin \theta &= \frac{1}{10} \frac{\rho g R^3}{(\lambda + 2\mu)} \sin \theta \frac{\partial P_1(\cos \theta)}{\partial \theta} + \frac{1}{15} \frac{\rho g R^3}{(\lambda + 2\mu)} \sin \theta \frac{\partial P_3(\cos \theta)}{\partial \theta}. \end{aligned} \right\} \dots \dots \dots (14)$$

次に (12) な關係を用ひて, (13) より

$$\left. \begin{aligned} R^2u &= \frac{1}{3} A_0 R^3 P_0(\cos \theta) - \frac{(\lambda + 2\mu)}{\mu} A_1' R P_1(\cos \theta) \\ &\quad - \frac{(3\lambda + 5\mu)}{6\mu} A_2' P_2(\cos \theta) - \frac{(2\lambda + 3\mu)}{5\mu} \frac{A_3'}{R} P_3(\cos \theta) \\ &\quad - D_n \frac{\{(n+1)\lambda + (n+3)u\}}{2(2n-1)\mu} \frac{1}{R^{n-2}} P_n(\cos \theta), \\ Rv \sin \theta &= -\frac{(\lambda + 3\mu)}{2\mu} A_1' \sin \theta \frac{\partial P_1(\cos \theta)}{\partial \theta} \\ &\quad - \frac{A_2'}{6R} \sin \theta \frac{\partial P_2(\cos \theta)}{\partial \theta} + \frac{(\lambda - \mu)}{30\mu} \frac{A_3'}{R^2} \sin \theta \frac{\partial P_3(\cos \theta)}{\partial \theta} \\ &\quad - \frac{\{(2-n)\lambda + (4-n)\mu\}}{2(2n-1)n\mu} \frac{D_n}{R^{n-1}} \frac{\partial P_n(\cos \theta)}{\partial \theta}. \end{aligned} \right\} \dots \dots (15)$$

次に (13) の補解として必要なものを出してみると,

$$\left. \begin{aligned} R^2u &= -C_0' P_0(\cos \theta) + \left[C_1 R^2 - \frac{2}{R} C_1' \right] P_1(\cos \theta) \\ &\quad + \left[2R^3 C_2 - \frac{3}{R^2} C_2' \right] P_2(\cos \theta) - \frac{3}{R^3} C_3' P_3(\cos \theta) \\ &\quad - E_n \frac{(n+1)}{R^n} P_n(\cos \theta), \\ Rv \sin \theta &= \left[C_1 R + \frac{C_1'}{R^2} \right] \sin \theta \frac{\partial P_1(\cos \theta)}{\partial \theta} \\ &\quad + \left[C_2 R^2 + \frac{C_2'}{R^3} \right] \sin \theta \frac{\partial P_2(\cos \theta)}{\partial \theta} + \frac{C_3'}{R^4} \sin \theta \frac{\partial P_3(\cos \theta)}{\partial \theta} \\ &\quad + \frac{1}{R^{n+1}} E_n \sin \theta \frac{\partial P_n(\cos \theta)}{\partial \theta}. \end{aligned} \right\} \dots (16)$$

但し (16) に於て, $C_0', C_1, C_1', C_2, C_2', C_3'$ 及び, E_n は任意の常數であつて, n は

0, 1, 2, 3 …等の正の整数を表はしてゐる。

次に此れ等 (11), (12), (14), (15), (16) を用ひて, 應力分力を求めてみると,

$$\begin{aligned}
 \widehat{RR} &= \left[\left(\lambda + \frac{2\mu}{3} \right) A_0 + \frac{4\mu}{R^3} C_0' \right] P_0(\cos \theta) \\
 &+ \left[\frac{(5\lambda + 6\mu)}{5(\lambda + 2\mu)} \rho g R + \frac{(3\lambda + 4\mu)}{R^2} A_1' + \frac{12\mu}{R^4} C_1' \right] P_1(\cos \theta) \\
 &+ \left[\frac{(9\lambda + 10\mu)}{3R^3} A_2' + 4\mu C_2 + \frac{24\mu}{R^5} C_2' \right] P_2(\cos \theta) \\
 &+ \left[\frac{4\mu}{5(\lambda + 2\mu)} \rho g R + \frac{(17\lambda + 18\mu)}{5R^4} A_3' + \frac{40\mu}{R^6} C_3' \right] P_3(\cos \theta) \\
 &+ \frac{\{(n^2 + 3n - 1)\lambda + n(n + 3)\mu\}}{(2n - 1)} \frac{D_n}{R^{n+1}} P_n(\cos \theta) \\
 &+ \frac{2(n + 1)(n + 2)\mu}{R^{n+3}} E_n P_n(\cos \theta), \\
 \widehat{\theta\theta} &= \left[\frac{(3\lambda + 2\mu)}{3} A_0 - \frac{2\mu}{R^3} C_0' \right] P_0(\cos \theta) \\
 &+ \left[\frac{(5\lambda + 3\mu)}{5(\lambda + 2\mu)} \rho g R - \frac{(\lambda + 4\mu)}{R^2} A_1' + \frac{2\mu}{R} C_1 - \frac{4\mu}{R^4} C_1' \right] P_1(\cos \theta) \\
 &+ \left[-\frac{5}{3} \frac{\mu}{R^3} A_2' + 4\mu C_2 - \frac{6\mu}{R^5} C_2' \right] P_2(\cos \theta) \\
 &+ \left[\frac{2\mu}{5(\lambda + 2\mu)} \rho g R + \frac{(\lambda - 6\mu)}{5R^4} A_3' - \frac{8\mu}{R^6} C_3' \right] P_3(\cos \theta) \\
 &+ \left[\frac{\mu}{5(\lambda + 2\mu)} \rho g R - \frac{(\lambda + 3\mu)}{R^2} A_1' + \frac{2\mu}{R} C_1 + \frac{2\mu}{R^4} C_1' \right] \frac{\partial^2 P_1(\cos \theta)}{\partial \theta^2} \\
 &+ \left[-\frac{\mu}{3} \frac{A_2'}{R^3} + 2\mu C_2 + \frac{2\mu}{R^5} C_2' \right] \frac{\partial^2 P_2(\cos \theta)}{\partial \theta^2} \\
 &+ \left[\frac{2\mu}{15(\lambda + 2\mu)} \rho g R + \frac{(\lambda - \mu)}{15R^4} A_3' + \frac{2\mu}{R^6} C_3' \right] \frac{\partial^2 P_3(\cos \theta)}{\partial \theta^2} \\
 &+ \left[\frac{\{(n - 2)\lambda - (n + 3)\mu\}}{(2n - 1)} \frac{D_n}{R^{n+1}} - \frac{2(n + 1)\mu}{R^{n+3}} E_n \right] P_n(\cos \theta) \\
 &+ \left[\frac{\{(n - 2)\lambda + (n - 4)\mu\}}{(2n - 1)n} \frac{D_n}{R^{n+1}} + \frac{2\mu}{R^{n+3}} E_n \right] \frac{\partial^2 P_n(\cos \theta)}{\partial \theta^2}, \\
 \widehat{\phi\phi} &= \left[\frac{(3\lambda + \mu)}{3} A_0 - \frac{2\mu}{R^3} C_0' \right] P_0(\cos \theta)
 \end{aligned}$$

$$\begin{aligned}
 & + \left[\frac{(5\lambda + 3\mu)}{5(\lambda + 2\mu)} \rho g R - \frac{(\lambda + 4\mu)}{R^2} A_1' + \frac{2\mu}{R} C_1 - \frac{4\mu}{R^4} C_1' \right] P_1(\cos \theta) \\
 & + \left[-\frac{5}{3} \frac{\mu}{R^3} A_2' + 4\mu C_2 - \frac{6\mu}{R^5} C_2' \right] P_2(\cos \theta) \\
 & + \left[\frac{2}{5} \frac{\mu \rho g R}{(\lambda + 2\mu)} + \frac{(\lambda - 6\mu)}{5R^4} A_3' - \frac{8\mu}{R^6} C_3' \right] P_3(\cos \theta) \\
 & + \left[\frac{\mu \rho g R}{5(\lambda + 2\mu)} - \frac{(\lambda + 3\mu)}{R^2} A_1' + \frac{2\mu}{R} C_1 + \frac{2\mu}{R^4} C_1' \right] \cot \theta \frac{\partial P_1(\cos \theta)}{\partial \theta} \\
 & + \left[-\frac{\mu}{3R^3} A_2' + 2\mu C_2 + \frac{2\mu}{R^5} C_2' \right] \cot \theta \frac{\partial P_2(\cos \theta)}{\partial \theta} \\
 & + \left[\frac{2}{15} \frac{\mu \rho g R}{(\lambda + 2\mu)} + \frac{(\lambda - \mu)}{15R^4} A_3' + \frac{2\mu}{R^6} C_3 \right] \cot \theta \frac{\partial P_3(\cos \theta)}{\partial \theta} \\
 & + \left[\frac{\{(n-2)\lambda - (n+3)\mu\}}{(2n-1)} \frac{D_n}{R^{n+1}} - \frac{2(n+1)\mu E_n}{R^{n+3}} \right] P_n(\cos \theta) \\
 & + \left[\frac{\{(n-2)\lambda + (n-4)\mu\}}{(2n-1)n} \frac{D_n}{R^{n+1}} + \frac{2\mu}{R^{n+3}} E_n \right] \cot \theta \frac{\partial P_n(\cos \theta)}{\partial \theta}, \\
 \widehat{R}\theta = & \left[\frac{2}{5} \frac{\mu \rho g R}{(\lambda + 2\mu)} + \frac{\mu A_1'}{R^2} - \frac{6\mu}{R^4} C_1' \right] \frac{\partial P_1(\cos \theta)}{\partial \theta} \\
 & + \left[-\frac{(3\lambda + 2\mu)}{6R^3} A_2' + 2\mu C_2 - \frac{8\mu}{R^5} C_2' \right] \frac{\partial P_2(\cos \theta)}{\partial \theta} \\
 & + \left[\frac{4}{15} \frac{\mu \rho g R}{(\lambda + 2\mu)} - \frac{(8\lambda + 7\lambda)}{15} \frac{A_3'}{R^4} - \frac{10\mu}{R^6} C_3' \right] \frac{\partial P_3(\cos \theta)}{\partial \theta} \\
 & + \left[\frac{\{(1-n^2)\lambda + (2-n^2)\mu\}}{(2n-1)n} \frac{D_n}{R^{n+1}} - \frac{2(n+2)\mu}{R^{n+3}} E_n \right] \frac{\partial P_n(\cos \theta)}{\partial \theta}.
 \end{aligned} \tag{17}$$

さて以上求めて来た研究に必要な變位及び應力の一般式を用ひて、前述の條件即ち $R=A$ なる空窩内面に壓力が加へられしかも重力が作用してゐる時半無限彈性體内殊に空窩附近での應力は如何と云ふに、條件式は次の様になる。

即ち

$$\left. \begin{aligned}
 R=A:- & \quad \widehat{RR} = -f(\theta), \\
 & \quad \widehat{R}\theta = -0,
 \end{aligned} \right\} \dots\dots\dots (18)$$

$$\left. \begin{aligned}
 R=\infty:- & \quad \widehat{RR} = (3), \\
 & \quad \widehat{\theta\theta} = (4), \\
 & \quad \widehat{\phi\phi} = (5), \\
 & \quad \widehat{R}\theta = (6).
 \end{aligned} \right\} \dots\dots\dots (19)$$

さて (18), (19) を満足する様に調節する理であるが (18) に於ける $f(\theta)$ は

$$f(\theta) = \sum_{n=0}^{\infty} \frac{2n+1}{2} \int_0^{\pi} f(\theta) P_n(\cos \theta) \sin \theta d\theta \cdot P_n(\cos \theta) \dots \dots \dots (20)$$

と展開が出来る故, (18), (19), (20) を満足する様に常数を調節する時は求める結果は次の様になる. 即ち

$$\begin{aligned} \widehat{RR} = & - \sum_{n=0}^{\infty} \left(\frac{2n+1}{2} \right) \int_0^{\pi} f(\theta) P_n(\cos \theta) \sin \theta d\theta \\ & \times \frac{(2n-1)n\{(n^2+3n-1)\lambda+n(n+3)\mu\}A^{n+1}}{\{(2n^2+1)\lambda+2(n^2+n+1)\mu\}(2n-1)R^{n+1}} P_n(\cos \theta) \\ & + \sum_{n=0}^{\infty} \frac{(2n+1)}{2} \int_0^{\pi} f(\theta) P_n(\cos \theta) \sin \theta d\theta \\ & \times \frac{\{(n^2-1)\lambda+(n^2-2)\mu\}(n+1)(n+2)A^{n+3}}{(n+2)\{(2n^2+1)\lambda+2(n^2+n+1)\mu\}R^{n+3}} P_n(\cos \theta) \\ & + \left[-\frac{(3\lambda+2\mu)}{3(\lambda+2\mu)} \rho g \xi + \frac{(3\lambda+2\mu)\rho g \xi A^3}{3(\lambda+2\mu)R^3} \right] P_0(\cos \theta) \\ & + \left[\frac{(5\lambda+6\mu)}{5(\lambda+2\mu)} \rho g R - \frac{(3\lambda+4\mu)\rho g A^3}{3(\lambda+2\mu)R^2} + \frac{2\mu\rho g A^5}{15(\lambda+2\mu)R^4} \right] P_1(\cos \theta) \\ & + \left[-\frac{4}{3} \frac{\mu\rho g \xi}{(\lambda+2\mu)} + \frac{20}{3} \frac{\mu(9\lambda+10\mu)\rho g \xi A^3}{(\lambda+2\mu)(9\lambda+14\mu)R^3} \right. \\ & \quad \left. - \frac{48\mu(\lambda+\mu)\rho g \xi A^5}{(\lambda+2\mu)(9\lambda+14\mu)R^5} \right] P_2(\cos \theta) \\ & + \left[\frac{4\mu\rho g R}{5(\lambda+2\mu)} - \frac{28\mu(17\lambda+18\mu)\rho g A^5}{5(\lambda+2\mu)(19\lambda+26\mu)R^4} \right. \\ & \quad \left. + \frac{80\mu(\lambda+\mu)\rho g A^7}{(\lambda+2\mu)(19\lambda+26\mu)R^6} \right] P_3(\cos \theta), \dots \dots \dots (21) \end{aligned}$$

$$\begin{aligned} \widehat{\theta\theta} = & - \sum_{n=0}^{\infty} \frac{\{(n-2)\lambda-(n+3)\mu\}(2n-1)n(2n+1)A^{n+1}}{2(2n-1)\{(2n^2+1)\lambda+2(n^2+n+1)\mu\}R^{n+1}} P_n(\cos \theta) \\ & \times \int_0^{\pi} f(\theta) P_n(\cos \theta) \sin \theta d\theta \\ & - \sum_{n=0}^{\infty} \frac{(n+1)\{(n^2-1)\lambda+(n^2-2)\mu\}(2n+1)A^{n+3}}{2(n+2)\{(2n^2+1)\lambda+2(n^2+n+1)\mu\}R^{n+3}} P_n(\cos \theta) \\ & \times \int_0^{\pi} f(\theta) P_n(\cos \theta) \sin \theta d\theta \end{aligned}$$

$$\begin{aligned}
& - \sum_{n=0}^{\infty} \frac{\{(n-2)\lambda + (n-4)\mu\}(2n-1)n(2n+1)A^{n+1}}{2n(2n-1)\{(2n^2+1)\lambda + 2(n^2+n+1)\mu\}R^{n+1}} \frac{\partial^2 P_n(\cos \theta)}{\partial \theta^2} \\
& \quad \times \int_0^\pi f(\theta) P_n(\cos \theta) \sin \theta d\theta \\
& + \sum_{n=0}^{\infty} \frac{\{(n^2-1)\lambda + (n^2-2)\mu\}(2n+1)A^{n+3}}{2(n+2)\{(2n^2+1)\lambda + 2(n^2+n+1)\mu\}R^{n+3}} \frac{\partial^2 P_n(\cos \theta)}{\partial \theta^2} \\
& \quad \times \int_0^\pi f(\theta) P_n(\cos \theta) \sin \theta d\theta \\
& - \left[\frac{(3\lambda+2\mu)}{3(\lambda+2\mu)} \rho g \xi + \frac{(3\lambda+2\mu)\rho g \xi}{6(\lambda+2\mu)} \frac{A^3}{R^3} \right] P_0(\cos \theta) \\
& + \left[\frac{(5\lambda+3\mu)}{5(\lambda+2\mu)} \rho g R + \frac{\mu \rho g \xi^2}{(\lambda+2\mu)R} + \frac{(\lambda+4\mu)\rho g A^3}{3(\lambda+2\mu)R^2} \right. \\
& \quad \left. - \frac{4\mu \rho g A^5}{90(\lambda+2\mu)R^4} \right] P_1(\cos \theta) \\
& - \left[\frac{4\mu \rho g \xi}{3(\lambda+2\mu)} + \frac{100\mu^2 \rho g \xi A^3}{3(\lambda+2\mu)(9\lambda+14\mu)R^3} \right. \\
& \quad \left. - \frac{12\mu(\lambda+\mu)\rho g \xi A^5}{(\lambda+2\mu)(9\lambda+14\mu)R^5} \right] P_2(\cos \theta) \\
& + \left[\frac{2\mu \rho g R}{5(\lambda+2\mu)} - \frac{28\mu(\lambda-6\mu)\rho g A^5}{5(\lambda+2\mu)(19\lambda+26\mu)R^4} \right. \\
& \quad \left. - \frac{16\mu(\lambda+\mu)\rho g A^7}{(\lambda+2\mu)(19\lambda+26\mu)R} \right] P_3(\cos \theta) \\
& + \left[\frac{\mu \rho g R}{5(\lambda+2\mu)} + \frac{\mu \rho g \xi^2}{(\lambda+2\mu)R} + \frac{(\lambda+3\mu)\rho g A^3}{3(\lambda+2\mu)R^2} + \frac{2\mu \rho g A^5}{90(\lambda+2\mu)R^4} \right] \frac{\partial^2 P_1(\cos \theta)}{\partial \theta^2} \\
& - \left[\frac{2\mu \rho g \xi}{3(\lambda+2\mu)} + \frac{20\mu^2 \rho g \xi A^3}{3(\lambda+2\mu)(9\lambda+14\mu)R^3} \right. \\
& \quad \left. + \frac{4\mu(\lambda+\mu)\rho g \xi A^5}{(\lambda+2\mu)(9\lambda+14\mu)R^5} \right] \frac{\partial^2 P_2(\cos \theta)}{\partial \theta^2} \\
& + \left[\frac{2\mu \rho g R}{15(\lambda+2\mu)} - \frac{28\mu(\lambda-\mu)\rho g A^5}{15(\lambda+2\mu)(19\lambda+26\mu)R^4} \right. \\
& \quad \left. + \frac{4\mu(\lambda+\mu)\rho g A^7}{(\lambda+2\mu)(19\lambda+26\mu)R^6} \right] \frac{\partial^2 P_3(\cos \theta)}{\partial \theta^2}, \dots \dots (22)
\end{aligned}$$

$$\begin{aligned}
\widehat{\phi} = & - \sum_{n=0}^{\infty} \frac{\{(n-2)\lambda - (n+3)\mu\} (2n-1)n(2n+1)A^{n+1}}{2(2n-1)\{(2n^2+1)\lambda + 2(n^2+n+1)\mu\} R^{n+1}} P_n(\cos \theta) \\
& \times \int_0^\pi f(\theta) P_n(\cos \theta) \sin \theta d\theta \\
& - \sum_{n=0}^{\infty} \frac{(n+1)\{(n^2-1)\lambda + (n-2)\mu\} (2n+1)A^{n+3}}{2(n+2)\{(2n^2+1)\lambda + 2(n^2+n+1)\mu\} R^{n+3}} P_n(\cos \theta) \\
& \times \int_0^\pi f(\theta) P_n(\cos \theta) \sin \theta d\theta \\
& - \sum_{n=0}^{\infty} \frac{\{(n-2)\lambda + (n-4)\mu\} n(2n+1)A^{n+1}}{2n\{(2n^2+1)\lambda + 2(n^2+n+1)\mu\} R^{n+1}} \cot \theta \frac{\partial P_n(\cos \theta)}{\partial \theta} \\
& \times \int_0^\pi f(\theta) P_n(\cos \theta) \sin \theta d\theta \\
& + \sum_{n=0}^{\infty} \frac{\{(n^2-1)\lambda + (n^2-2)\mu\} (2n+1)A^{n+3}}{2(n+2)\{(2n^2+1)\lambda + 2(n^2+n+1)\mu\} R^{n+3}} \cot \theta \frac{\partial P_n(\cos \theta)}{\partial \theta} \\
& \times \int_0^\pi f(\theta) P_n(\cos \theta) \sin \theta d\theta \\
& - \left[\frac{(3\lambda+2\mu)\rho g \xi}{3(\lambda+2\mu)} + \frac{(3\lambda+2\mu)\rho g \xi A^3}{6(\lambda+2\mu)R^3} \right] P_0(\cos \theta) \\
& + \left[\frac{(5\lambda+3\mu)\rho g R}{5(\lambda+2\mu)} + \frac{\mu \rho g \xi^2}{(\lambda+2\mu)R} + \frac{(\lambda+4\mu)\rho g A^3}{3(\lambda+2\mu)R^2} \right] P_1(\cos \theta) \\
& - \left[\frac{4\mu \rho g \xi}{3(\lambda+2\mu)} + \frac{100\mu^2 \rho g \xi A^3}{3(\lambda+2\mu)(9\lambda+14\mu)R^3} \right. \\
& \quad \left. - \frac{12\mu(\lambda+\mu)\rho g \xi A^5}{(\lambda+2\mu)(9\lambda+14\mu)R^5} \right] P_2(\cos \theta) \\
& + \left[\frac{2\mu \rho g R}{5(\lambda+2\mu)} - \frac{28\mu(\lambda-6\mu)\rho g A^5}{5(\lambda+2\mu)(19\lambda+26\mu)R^4} \right. \\
& \quad \left. - \frac{16\mu(\lambda+\mu)\rho g A^7}{(\lambda+2\mu)(19\lambda+26\mu)R^6} \right] P_3(\cos \theta) \\
& + \left[\frac{\mu \rho g R}{5(\lambda+2\mu)} + \frac{\mu \rho g \xi^2}{(\lambda+2\mu)R} + \frac{(\lambda+3\mu)\rho g A^3}{3(\lambda+2\mu)R^2} \right. \\
& \quad \left. + \frac{2\mu \rho g A^5}{90(\lambda+2\mu)R^4} \right] \cot \theta \frac{\partial P_1(\cos \theta)}{\partial \theta} \\
& - \left[\frac{2\mu \rho g \xi}{3(\lambda+2\mu)} + \frac{20\mu^2 \rho g \xi A^3}{3(\lambda+2\mu)(9\lambda+14\mu)R^3} \right. \\
& \quad \left. + \frac{4\mu(\lambda+\mu)\rho g \xi A^5}{(\lambda+2\mu)(9\lambda+14\mu)R^5} \right] \cot \theta \frac{\partial P_2(\cos \theta)}{\partial \theta}
\end{aligned}$$

$$\begin{aligned}
& + \left[\frac{2\mu\rho g R}{15(\lambda+2\mu)} - \frac{28\mu(\lambda-\mu)\rho g A^5}{15(\lambda+2\mu)(19\lambda+26\mu)R^4} \right. \\
& \quad \left. + \frac{4\mu(\lambda+\mu)\rho g A^7}{(\lambda+2\mu)(9\lambda+14\mu)R^6} \right] \cot \theta \frac{\partial P_3(\cos \theta)}{\partial \theta}, \quad \dots (23) \\
\widehat{R}\theta = & - \sum_{n=0}^{\infty} \frac{\{(1-n^2)\lambda+(2-n^2)\mu\}(2n+1)A^{n+1}}{2\{(2n^2+1)\lambda+2(n^2+n+1)\mu\}R^{n+1}} \frac{\partial P_n(\cos \theta)}{\partial \theta} \\
& \quad \times \int_0^\pi f(\theta) P_n(\cos \theta) \sin \theta d\theta \\
& - \sum_{n=0}^{\infty} \frac{\{(n^2-1)\lambda+(n^2-2)\mu\}A^{n+3}(2n+1)}{2\{(2n^2+1)\lambda+2(n^2+n+1)\mu\}R^{n+3}} \frac{\partial P_n(\cos \theta)}{\partial \theta} \\
& \quad \times \int_0^\pi f(\theta) P_n(\cos \theta) \sin \theta d\theta \\
& - \left[\frac{\mu\rho g A^3}{3(\lambda+2\mu)R^3} + \frac{6\mu\rho g A^5}{90(\lambda+2\mu)R^3} - \frac{2\mu\rho g R}{5(\lambda+2\mu)} \right] \frac{\partial P_1(\cos \theta)}{\partial \theta} \\
& - \left[\frac{2\mu\rho g \xi}{3(\lambda+2\mu)} + \frac{10\mu(3\lambda+2\mu)\rho g \xi A^3}{3(\lambda+2\mu)(9\lambda+14\mu)R^3} \right. \\
& \quad \left. - \frac{16\mu(\lambda+\mu)\rho g \xi A^5}{(\lambda+2\mu)(9\lambda+14\mu)R^5} \right] \frac{\partial P_2(\cos \theta)}{\partial \theta} \\
& + \left[\frac{4\mu\rho g R}{15(\lambda+2\mu)} + \frac{28\mu(8\lambda+7\mu)\rho g A^5}{15(\lambda+2\mu)(19\lambda+26\mu)R^4} \right. \\
& \quad \left. - \frac{20\mu(\lambda+\mu)\rho g A^7}{(\lambda+2\mu)(19\lambda+26\mu)R^6} \right] \frac{\partial P_3(\cos \theta)}{\partial \theta}. \quad \dots (24)
\end{aligned}$$

以上 (21)~(24) なる應力式によつて重力の働いてゐる半無限弾性體内に表面より ξ なる深さの所にその中心を有する半径 A なる球狀空窩の内面に壓力 P (即ち $-f(\theta)$) が加へられた場合の弾性體內殊に空窩附近の應力問題を解結する事が出来た。さて主應力 $\sigma_1, \sigma_2, \sigma_3$ は

$$\left. \begin{aligned}
\sigma_1 &= \widehat{\phi}\phi, \\
\sigma_2 &= \frac{1}{2}(\widehat{R}R + \widehat{\theta}\theta) + \frac{1}{2}\sqrt{(\widehat{R}R - \widehat{\theta}\theta)^2 + 4\widehat{R}\theta^2}, \\
\sigma_3 &= \frac{1}{2}(\widehat{R}R + \widehat{\theta}\theta) - \frac{1}{2}\sqrt{(\widehat{R}R - \widehat{\theta}\theta)^2 + 4\widehat{R}\theta^2}
\end{aligned} \right\} \dots (25)$$

であるから (21)~(24) を (25) に代入すれば以上の様な條件の基にある弾性體內殊に空窩附近の弾性破損の問題も定量的に解決する事が出来る。即ち弾性破損の條件式として、

$$f(\xi, P, A, K) = 0 \quad \dots\dots\dots (26)$$

なる關係式を求める事が出来る。勿論 K はこの弾性體に特有な最大主應力或は最大剪斷應力等を表はしてゐるもので破損に關する定理によつて夫々定められるものである。地殻の場合には最大剪斷力を K とするのが至當の様である。これ等具體的の數量的計算は次の機會に譲る事にして、次の問題に進んで行く。

第 2 章

3. 重力の作用せる半無限弾性體内の空窩に壓力 P が加へられた時この弾性體の表面附近、即ち第 1 圖に於て $z=0$ 附近に於ては如何なる變形が起り、そしてそこに現れる應力は如何なる分布状態をなしてゐるか、又表面附近は如何なる場所より破損が生ずるか等の問題の解決に進んで行く事とする。

さて $z=0$ 附近での釣合を研究するには先づ重力の働いてゐる半無限弾性體内の空窩内面の弾性條件を満足さす爲めの必要から生じて來た變位、應力及び $R=A$ に作用する壓力に釣合ふ爲めに必要上生じて來た變位や應力を (21), (22), (23), (24) より摘出しなければならぬ。即ちこの様にして摘出された變位や應力の項のみが $z=0$ 即ち表面に作用する事となるが、これに表面附近で弾性運動的に釣合ひを保つて、表面が自由表面であると云ふ條件を満足する様に、これ等摘出した變位及び應力の折り合ひをうまくつける様にする理である。

今空窩がある爲めに生じた應力や變位及び壓力の作用する爲めに生じた變位應力を摘出すると次の様になる。但しこの時にこれ等の變位や應力を第 1 圖で見る様に原點を O に置いた圓錐座標 (r, z) によつて表はす事とする。この爲めには勿論複雑な轉換運算を必要とするが、これ等の運算の結果をまとめてみると、

$$\begin{aligned} w' = & \sum_{n=0}^{\infty} \frac{n(2n-1)(2n+1)A^{n+1}}{2\{(2n^2+1)\lambda+2(n^2+n+1)\mu\}} \\ & \times \int_0^{\infty} \frac{(z+\xi)}{2k} e^{-k(z+\xi)} \frac{\partial J_0(kr)}{\partial r} \frac{1}{n!} k^n dk \int_0^{\pi} f(\theta) P_n(\cos \theta) \sin \theta d\theta \\ & - \sum_{n=0}^{\infty} \frac{n(2n-1)(2n+1)(\lambda+2\mu)A^{n+1}}{4\{(2n^2+1)\lambda+2(n^2+n+1)\mu\}\mu} \\ & \times \int_0^{\infty} \frac{(z+\xi)}{k} e^{-k(z+\xi)} \frac{\partial J_0(kr)}{\partial r} \frac{k^n}{n!} dk \int_0^{\pi} f(\theta) P_n(\cos \theta) \sin \theta d\theta \end{aligned}$$

$$\begin{aligned}
 & + \sum_{n=0}^{\infty} \frac{\{(n^2-1)\lambda + (n^2-2)\mu\} (2n+1) A^{n+3}}{4(n+2)\{(2n^2+1)n + 2(n^2+n+1)\mu\} (n!)} \\
 & \quad \times \int_0^{\infty} e^{-k(z+\xi)} \frac{\partial J_0(kr)}{\partial r} k^n dk \int_0^{\pi} f(\theta) P_n(\cos \theta) \sin \theta d\theta \\
 & + \frac{\rho g A^3(z+\xi)}{6(\lambda+2\mu)} \frac{(\lambda+\mu)}{\mu} \int_0^{\infty} \frac{e^{-k(z+\xi)}}{k} \frac{\partial J_0(kr)}{\partial r} k dk \\
 & \quad + \frac{(3\lambda+2\mu)\rho g \xi A^3}{12\mu(\lambda+2\mu)} \int_0^{\infty} e^{-k(z+\xi)} \frac{\partial J_0(kr)}{\partial r} dk \\
 & + \frac{\rho g A^5}{90(\lambda+2\mu)} \int_0^{\infty} e^{-k(z+\xi)} \frac{\partial J_0(kr)}{\partial r} k dk \\
 & + \frac{10\rho g \xi A^3}{(\lambda+2\mu)(9\lambda+14\mu)} \frac{(\lambda+\mu)}{\mu} \times \frac{z+\xi}{2!} \int_0^{\infty} e^{-k(z+\xi)} \frac{\partial J_0(kr)}{\partial r} k dk \\
 & - \frac{(\lambda+\mu)\rho g \xi A^5}{(\lambda+2\mu)(9\lambda+14\mu)} \int_0^{\infty} e^{-k(z+\xi)} \frac{\partial J_0(kr)}{\partial r} k^2 dk \\
 & - \frac{28\mu\rho g A^5}{(\lambda+2\mu)(19\lambda+26\mu)} \frac{(\lambda+\mu)}{2\mu} \frac{(z+\xi)}{3!} \int_0^{\infty} e^{-k(z+\xi)} \frac{\partial J_0(kr)}{\partial r} k^2 dk \\
 & + \frac{2(\lambda+\mu)\rho g A^7}{(\lambda+2\mu)(19\lambda+26\mu)} \frac{1}{(3!)} \int_0^{\infty} e^{-k(z+\xi)} \frac{\partial J_0(kr)}{\partial r} k^3 dk, \quad \dots\dots (27)
 \end{aligned}$$

$$\begin{aligned}
 w' = & \sum_{n=0}^{\infty} \frac{n(2n-1)(2n+1) A^{n+1}}{4\{(2n^2+1)\lambda + 2(n^2+n+1)\mu\} (n!)} \\
 & \quad \times \int_0^{\infty} \frac{\{1-k(z+\xi)\}}{k} e^{-k(z+\xi)} J_0(kr) k^n dk \int_0^{\pi} f(\theta) P_n(\cos \theta) \sin \theta d\theta \\
 & + \sum_{n=0}^{\infty} \frac{n(2n-1)(2n+1)(\lambda+2\mu) A^{n+1}}{4\{(2n^2+1)\lambda + 2(n^2+n+1)\mu\} \mu (n!)} \\
 & \quad \times \int_0^{\infty} \{1+k(z+\xi)\} e^{-k(z+\xi)} J_0(kr) k^{n-1} dk \int_0^{\pi} f(\theta) P_n(\cos \theta) \sin \theta d\theta \\
 & - \sum_{n=0}^{\infty} \frac{(2n+1)\{(n^2-1)\lambda + (n^2-2)\mu\} A^{n+3}}{4(n+2)\{(2n^2+1)\lambda + 2(n^2+n+1)\mu\} \mu (n!)} \\
 & \quad \times \int_0^{\infty} e^{-k(z+\xi)} J_0(kr) k^{n+1} dk \int_0^{\pi} f(\theta) P_n(\cos \theta) \sin \theta d\theta \\
 & - \frac{(3\lambda+2\mu)\rho g \xi A^3}{12\mu(\lambda+2\mu)} \int_0^{\infty} e^{-k(z+\xi)} J_0(kr) k dk \\
 & + \frac{\rho g A^3}{6(\lambda+2\mu)} \int_0^{\infty} \frac{1}{k} \{1-k(z+\xi)\} e^{-k(z+\xi)} J_0(kr) k dk \\
 & + \frac{\rho g A^3}{6(\lambda+2\mu)} \int_0^{\infty} \frac{(\lambda+2\mu)}{\mu k} \{1+k(z+\xi)\} e^{-k(z+\xi)} J_0(kr) k dk
 \end{aligned}$$

$$\begin{aligned}
& -\frac{\rho g A^5}{90(\lambda+2\mu)} \int_0^\infty e^{-k(z+\xi)} J_0(kr) k^2 dk \\
& -\frac{5\mu\rho g \xi A^3}{(\lambda+2\mu)(9\lambda+14\mu)} \int_0^\infty \frac{1}{k} \{1-k(z+\xi)\} e^{-k(z+\xi)} J_0(kr) k^2 dk \\
& -\frac{5\rho g \xi A^3}{(9\lambda+14\mu)} \int_0^\infty \frac{\{1+k(z+\xi)\}}{k} e^{-k(z+\xi)} J_0(kr) k^2 dk \\
& +\frac{(\lambda+\mu)\rho g \xi A^5}{(\lambda+2\mu)(9\lambda+14\mu)} \int_0^\infty e^{-k(z+\xi)} J_0(kr) k^3 dk \\
& +\frac{7\mu\rho g \xi A^5}{(\lambda+2\mu)(19\lambda+26\mu)} \int_0^\infty \frac{1}{k} \{1-k(z+\xi)\} e^{-k(z+\xi)} J_0(kr) k^3 dk \\
& +\frac{7\mu\rho g \xi A^5}{3(\lambda+2\mu)(19\lambda+26\mu)} \frac{(\lambda+2\mu)}{\mu} \int_0^\infty \frac{\{1+k(z+\xi)\}}{k} e^{-k(z+\xi)} J_0(kr) k^3 dk \\
& -\frac{1}{3} \frac{\rho g (\lambda+\mu) A^7}{(\lambda+2\mu)(19\lambda+26\mu)} \int_0^\infty e^{-k(z+\xi)} J_0(kr) k^4 dk, \dots\dots\dots (28)
\end{aligned}$$

$$\begin{aligned}
\widehat{r\ddot{r}} = & -\lambda \sum_{n=0}^{\infty} \frac{(2n-1)n(2n+1)A^{n+1}}{2(n!)\{(2n^2+1)\lambda+2(n^2+n+1)\mu\}} \\
& \times \int_0^\infty e^{-k(z+\xi)} J_0(kr) k^n dk \int_0^\pi f(\theta) P_n(\cos \theta) \sin \theta d\theta \\
& -(\lambda+\mu)(z+\xi) \sum_{n=0}^{\infty} \frac{(2n-1)n(2n+1)A^{n+1}}{2\{(2n^2+1)\lambda+2(n^2+n+1)\mu\}(n!)} \\
& \times \int_0^\infty e^{-k(z+\xi)} \frac{\partial^2 J_0(kr)}{\partial r^2} k^{n-1} dk \int_0^\pi f(\theta) P_n(\cos \theta) \sin \theta d\theta \\
& + \sum_{n=0}^{\infty} \frac{\{(n^2-1)\lambda+(n^2-2)\mu\}(2n+1)A^{n+3}}{(n+2)\{(2n^2+1)\lambda+2(n^2+n+1)\mu\}\mu(n!)} \\
& \times \int_0^\infty e^{-k(z+\xi)} \frac{\partial^2 J_0(kr)}{\partial r^2} k^n dk \int_0^\pi f(\theta) P_n(\cos \theta) \sin \theta d\theta \\
& -\frac{\lambda\rho g A^3}{3(\lambda+2\mu)} \int_0^\infty e^{-k(z+\xi)} J_0(kr) k dk \\
& -\frac{(\lambda+\mu)(z+\xi)\rho g A^3}{3(\lambda+2\mu)} \int_0^\infty e^{-k(z+\xi)} \frac{\partial^2 J_0(kr)}{\partial r^2} dk \\
& +\frac{\rho g A^5}{90(\lambda+2\mu)} \int_0^\infty e^{-k(z+\xi)} \frac{\partial^2 J_0(kr)}{\partial r^2} k dk \\
& +\frac{10\lambda\mu\rho g A^3 \xi}{(\lambda+2\mu)(9\lambda+14\mu)} \int_0^\infty e^{-k(z+\xi)} J_0(kr) k^2 dk
\end{aligned}$$

$$\begin{aligned}
& + (\lambda + \mu)(z + \xi) \frac{10\mu\rho g \xi A^3}{(\lambda + 2\mu)(9\lambda + 14\mu)} \int_0^\infty e^{-k(z+\xi)} \frac{\partial^2 J_0(kr)}{\partial r^2} k dk \\
& - \frac{(\lambda + \mu)\rho g \xi A^5}{(\lambda + 2\mu)(9\lambda + 14\mu)} \int_0^\infty e^{-k(z+\xi)} \frac{\partial^2 J_0(kr)}{\partial r^2} k^2 dk \\
& - \frac{\lambda}{(3!)(\lambda + 2\mu)(19\lambda + 26\mu)} \int_0^\infty e^{-k(z+\xi)} J_0(kr) k^3 dk \\
& - \frac{(\lambda + \mu)(z + \xi)}{(3!)(\lambda + 2\mu)(19\lambda + 26\mu)} \int_0^\infty e^{-k(z+\xi)} \frac{\partial^2 J_0(kr)}{\partial r^2} k^2 dk \\
& + \frac{1}{(3!)(\lambda + 2\mu)(19\lambda + 26\mu)} \int_0^\infty e^{-k(z+\xi)} \frac{\partial^2 J_0(kr)}{\partial r^2} k^3 dk, \dots \dots \dots (29)
\end{aligned}$$

$$\begin{aligned}
\widehat{\theta\theta} = & -\lambda \sum_{n=0}^{\infty} \frac{n(2n-1)(2n+1)A^{n+1}}{2(n!)\{(2n^2+1)\lambda+2(n^2+n+1)\mu\}} \\
& \times \int_0^\infty e^{-k(z+\xi)} J_0(kr) k^n dk \int_0^\pi f(\theta) P_n(\cos \theta) \sin \theta d\theta \\
& - (\lambda + \mu)(z + \xi) \sum_{n=0}^{\infty} \frac{n(2n-1)(2n+1)A^{n+1}}{2(n!)\{(2n^2+1)\lambda+2(n^2+n+1)\mu\}} \\
& \times \int_0^\infty e^{-k(z+\xi)} \frac{1}{r} \frac{\partial J_0(kr)}{\partial r} k^{n-1} dk \int_0^\pi f(\theta) P_n(\cos \theta) \sin \theta d\theta \\
& + \sum_{n=0}^{\infty} \frac{(2n+1)\{(n^2-1)\lambda+(n^2-2)\mu\}A^{n+3}}{4(n+2)\{(2n^2+1)\lambda+2(n^2+n+1)\mu\}\mu(n!)} \\
& \times \int_0^\infty e^{-k(z+\xi)} \frac{1}{r} \frac{\partial J_0(kr)}{\partial r} k^n dk \int_0^\pi f(\theta) P_n(\cos \theta) \sin \theta d\theta \\
& - \frac{\lambda\rho g A^3}{3(\lambda+2\mu)} \int_0^\infty e^{-k(z+\xi)} J_0(kr) k dk \\
& - \frac{(\lambda+\mu)(z+\xi)}{3(\lambda+2\mu)} \rho g A^3 \int_0^\infty e^{-k(z+\xi)} \frac{1}{r} \frac{\partial J_0(kr)}{\partial r} dk \\
& + \frac{\rho g A^5}{90(\lambda+2\mu)} \int_0^\infty e^{-k(z+\xi)} \frac{1}{r} \frac{\partial J_0(kr)}{\partial r} k dk \\
& + \frac{10\lambda\mu\rho g \xi A^3}{(\lambda+2\mu)(9\lambda+14\mu)} \int_0^\infty e^{-k(z+\xi)} J_0(kr) k^2 dk \\
& + (\lambda + \mu)(z + \xi) \frac{10\mu\rho g \xi A^3}{(\lambda + 2\mu)(9\lambda + 14\mu)} \int_0^\infty e^{-k(z+\xi)} \frac{1}{r} \frac{\partial J_0(kr)}{\partial r} k dk \\
& - \frac{(\lambda + \mu)\rho g \xi A^5}{(\lambda + 2\mu)(9\lambda + 14\mu)} \int_0^\infty e^{-k(z+\xi)} \frac{1}{r} \frac{\partial J_0(kr)}{\partial r} k^2 dk
\end{aligned}$$

$$\begin{aligned}
& - \frac{20\lambda\mu\rho g A^5}{(3!)(\lambda+2\mu)(19\lambda+26\mu)} \int_0^\infty e^{-k(z+\xi)} J_0(kr) k^3 dk \\
& - \frac{(\lambda+\mu)(z+\xi) 28\mu\rho g A^5}{(3!)(\lambda+2\mu)(19\lambda+26\mu)} \int_0^\infty e^{-k(z+\xi)} \frac{1}{r} \frac{\partial J_0(kr)}{\partial r} k^2 dk \\
& + \frac{2\rho g(\lambda+\mu)A^7}{(3!)(\lambda+2\mu)(19\lambda+26\mu)} \int_0^\infty e^{-k(z+\xi)} \frac{1}{r} \frac{\partial J_0(kr)}{\partial r} k^3 dk, \dots\dots (30) \\
\bar{z}z = & - \sum_{n=0}^{\infty} \frac{n(2n-1)(2n+1)A^{n+1}}{2\{(2n^2+1)\lambda+2(n^2+n+1)\mu\}(n!)} \\
& \times \int_0^\infty \{(\lambda+2\mu)+(\lambda+\mu)k(z+\xi)\} e^{-k(z+\xi)} J_0(kr) k^n dk \\
& \times \int_0^\pi f(\theta) P_n(\cos\theta) \sin\theta d\theta \\
& + \sum_{n=0}^{\infty} \frac{1}{n!} \frac{\{(n^2-1)\lambda+(n^2-2)\mu\}(2n+1)A^{n+3}}{\{(2n^2+1)\lambda+2(n^2+n+1)\mu\}(n+2)} \\
& \times \int_0^\pi e^{-k(z+\xi)} J_0(kr) k^{n+2} dk \int_0^\pi f(\theta) P_n(\cos\theta) \sin\theta d\theta \\
& - \frac{\rho g A^3}{3(\lambda+2\mu)} \int_0^\infty \{(\lambda+2\mu)+(\lambda+\mu)k(z+\xi)\} e^{-k(z+\xi)} J_0(kr) k dk \\
& + \frac{\mu\rho g A^5}{45(\lambda+2\mu)} \int_0^\infty e^{-k(z+\xi)} J_0(kr) k^3 dk \\
& + \frac{10\mu\rho g \xi A^3}{(\lambda+2\mu)(9\lambda+14\mu)} \\
& \times \int_0^\infty e^{-k(z+\xi)} \{(\lambda+2\mu)+(\lambda+\mu)k(z+\xi)\} J_0(kr) k^2 dk \\
& - \frac{2\mu(\lambda+\mu)\rho g \xi A^5}{(\lambda+2\mu)(9\lambda+14\mu)} \int_0^\infty e^{-k(z+\xi)} J_0(kr) k^4 dk \\
& - \frac{28\mu\rho g A^5}{(\lambda+2\mu)(19\lambda+26\mu)(3!)} \\
& \times \int_0^\infty e^{-k(z+\xi)} \{(\lambda+2\mu)+(\lambda+\mu)k(z+\xi)\} J_0(kr) k^3 dk \\
& + \frac{4\mu(\lambda+\mu)\rho g A^7}{(3!)(\lambda+2\mu)(19\lambda+26\mu)} \int_0^\infty e^{-k(z+\xi)} J_0(kr) k^5 dk, \dots\dots\dots (31)
\end{aligned}$$

$$\begin{aligned}
\widehat{r}z = & \sum_{n=0}^{\infty} \frac{n(2n+1)(2n-1)A^{n+1}}{2\{(2n^2+1)\lambda+2(n^2+n+1)\mu\}(n!)} \\
& \times \int_0^{\infty} \left\{ \frac{\mu}{k} + (\lambda+\mu)(z+\xi) \right\} e^{-k(z+\xi)} \frac{\partial J_0(kr)}{\partial r} k^n dk \\
& \times \int_0^{\pi} f(\theta) P_n(\cos\theta) \sin\theta d\theta \\
& - \sum_{n=0}^{\infty} \frac{1}{(n!)} \frac{\{(n^2-1)\lambda+(n^2-2)\mu\}(2n+1)A^{n+3}}{2\{n+2\}\{(2n^2+1)\lambda+2(n^2+n+1)\mu\}} \\
& \times \int_0^{\infty} e^{-k(z+\xi)} \frac{\partial J_1(kr)}{\partial r} k^{n+1} dk \int_0^{\pi} f(\theta) P_n(\cos\theta) \sin\theta d\theta \\
& + \frac{\rho g A^3}{3(\lambda+2\mu)} \int_0^{\infty} \left\{ \frac{\mu}{k} + (\lambda+\mu)(z+\xi) \right\} e^{-k(z+\xi)} \frac{\partial J_0(kr)}{\partial r} k dk \\
& - \frac{\mu \rho g A^5}{45(\lambda+2\mu)} \int_0^{\infty} e^{-k(z+\xi)} \frac{\partial J_0(kr)}{\partial r} k^2 dk \\
& - \frac{10\mu \rho g \xi A^5}{(\lambda+2\mu)(9\lambda+14\mu)} \\
& \times \int_0^{\infty} \left\{ \frac{\mu}{k} + (\lambda+\mu)(z+\xi) \right\} e^{-k(z+\xi)} \frac{\partial J_0(kr)}{\partial r} k^2 dk \\
& + \frac{2\mu(\lambda+\mu)\rho g \xi A^5}{(\lambda+2\mu)(9\lambda+14\mu)} \int_0^{\infty} e^{-k(z+\xi)} \frac{\partial J_0(kr)}{\partial r} k^3 dk \\
& - \frac{28\mu \rho g A^5}{(\lambda+2\mu)(19\lambda+26\mu)(3!)} \\
& \times \int_0^{\infty} e^{-k(z+\xi)} \left\{ \frac{\mu}{k} + (\lambda+\mu)(z+\xi) \right\} \frac{\partial J_0(kr)}{\partial r} k^3 dk \\
& - \frac{4\mu \rho g (\lambda+\mu) A^7}{(3!(\lambda+2\mu)(19\lambda+26\mu))} \int_0^{\infty} e^{-k(z+\xi)} \frac{\partial J_0(kr)}{\partial r} k^4 dk. \dots\dots\dots(32)
\end{aligned}$$

既に述べておいた様に (27)~(32) なる變位及び應力の式は空窩がある爲めに重力の作用せる半無限弾性體中に生ずる變位及び應力と空窩に作用する壓力の爲めに生ずる夫等の總和を表はしてゐるものである。こゝに於て半無限體の表面即ち $z=0$ に於てこの面が自由面である様に彈性條件を作り此れに適合する様に此れ等 (27)~(32) による應力を用ひて彈性體の表面の變形なり或は應力を夫々調節しなければならぬ。この爲めには半無限弾性體の彈性釣合運動式を先づ解く必要がある。即ち

$$\left. \begin{aligned} \frac{\partial \widehat{rr}'}{\partial r} + \frac{\partial \widehat{rz}'}{\partial z} + \frac{\widehat{rr}' - \theta \theta'}{r} &= 0, \\ \frac{\partial \widehat{rz}'}{\partial r} + \frac{\partial \widehat{zz}'}{\partial z} + \frac{\widehat{rz}'}{r} &= 0 \end{aligned} \right\} \dots\dots\dots (32)$$

なる釣合式に於て、

$$\left. \begin{aligned} \widehat{rr}' &= \lambda \Delta' + 2\mu \frac{\partial u'}{\partial r}, & \theta \theta' &= \lambda \Delta' + 2\mu \left\{ \frac{u'}{r} \right\}, \\ \widehat{zz}' &= \lambda \Delta' + 2\mu \frac{\partial w}{\partial z}, & \widehat{rz}' &= \mu \left(\frac{\partial u}{\partial z} + \frac{\partial w}{\partial r} \right), \end{aligned} \right\} \dots\dots (33)$$

但し

$$\Delta' = \frac{1}{r} \frac{\partial}{\partial r} (ru') + \frac{\partial w'}{\partial z}.$$

勿論表面の條件を完全に満足さすのであるから (32) の運動式では重力による項は略してある。圓筒座標の原點は第 1 圖の 0 に置いてある。(33) を (32) に代入すれば

$$\left. \begin{aligned} (\lambda + 2\mu) \frac{\partial \Delta'}{\partial r} + 2\mu \frac{\partial w'}{\partial z} &= 0, \\ (\lambda + 2\mu) \frac{\partial \Delta'}{\partial z} - \frac{2\mu}{r} \frac{\partial}{\partial r} (rw') &= 0. \end{aligned} \right\} \dots\dots\dots (34)$$

但し

$$\left. \begin{aligned} \Delta' &= \frac{1}{r} \frac{\partial}{\partial r} (ru') + \frac{\partial w'}{\partial z}, \\ 2\omega' &= \frac{\partial u'}{\partial z} - \frac{\partial w'}{\partial r}. \end{aligned} \right\} \dots\dots\dots (35)$$

u', w' は半徑方向, 垂直方向の變位を表はしてゐる。

(34) の解としては色々のものが見出されるが、こゝでは次のものを採用する。即ち

$$\left. \begin{aligned} \Delta' &= A_m e^{+kz} J_0(kr), \\ 2\omega' &= -\frac{(\lambda + 2\mu)}{\mu} A_m e^{+kz} \frac{\partial J_0(kr)}{\partial (kr)}. \end{aligned} \right\} \dots\dots\dots (36)$$

A_m は勿論任意の常數である。

さて (35) より

$$\frac{\partial^2 w'}{\partial r^2} + \frac{1}{r} \frac{\partial w'}{\partial r} + \frac{\partial^2 w'}{\partial z^2} = \frac{\partial \Delta'}{\partial z} - \frac{2}{r} \frac{\partial}{\partial r} (r\omega'), \dots\dots\dots (37)$$

$$\frac{\partial^2(ru')}{\partial r^2} - \frac{1}{r} \frac{\partial(ru')}{\partial r} + \frac{\partial^2(ru')}{\partial z^2} = r \frac{\partial A'}{\partial r} + 2r \frac{\partial \omega'}{\partial z} \dots\dots\dots (38)$$

(36) をこれ等 (37), (38) の右邊へ代入し, w' 及び ru' に関する特殊解, 及び補解を求めめる事は容易に出来る. その結果を出してみると,

$$u' = -\frac{(\lambda + \mu)}{2\mu} A_m \frac{z}{k} e^{kz} \frac{\partial J_0(kr)}{\partial r} + E_m e^{kz} \frac{\partial J_0(kr)}{\partial r}, \dots\dots\dots (39)$$

$$w' = \frac{(\lambda + 3\mu)}{2\mu} A_m \frac{1}{k} e^{kz} J_0(kr) - \frac{(\lambda + \mu)}{2\mu} A_m z e^{kz} J_0(kr) + E_m k e^{kz} J_0(kr). \dots\dots\dots (40)$$

E_m は任意の常數である.

(33) によつて應力の分力を求めてみると,

$$\widehat{rr'} = \lambda A_m e^{kz} J_0(kr) - (\lambda + \mu) A_m \frac{z}{k} e^{kz} \frac{\partial^2 J_0(kr)}{\partial r^2} + 2\mu E_m e^{kz} \frac{\partial^2 J_0(kr)}{\partial r^2}, \dots\dots\dots (41)$$

$$\widehat{\theta\theta'} = \lambda A_m e^{kz} J_0(kr) - (\lambda + \mu) A_m \frac{z}{k} e^{kz} \frac{1}{r} \frac{\partial J_0(kr)}{\partial r} + 2\mu E_m e^{kz} \frac{1}{r} \frac{\partial J_0(kr)}{\partial r}, \dots\dots\dots (42)$$

$$\widehat{zz'} = (\lambda + 2\mu) A_m e^{kz} J_0(kr) - (\lambda + \mu) k z A_m e^{kz} J_0(kr) + 2\mu k^2 E_m e^{kz} J_0(kr), \dots\dots\dots (43)$$

$$\widehat{rz'} = \frac{\mu}{k} A_m e^{kz} \frac{\partial J_0(kr)}{\partial r} - (\lambda + \mu) z A_m e^{kz} \frac{\partial J_0(kr)}{\partial r} + 2\mu k E_m e^{kz} \frac{\partial J_0(kr)}{\partial r}. \dots\dots\dots (44)$$

これ等一般解を用ひて, 彈性體の平面が自由面である條件, 即ち $z=0$ に於て

$$\left. \begin{aligned} \widehat{zz'}(43) + \widehat{zz}(31) &= 0, \\ \widehat{rz'}(44) + \widehat{zr}(32) &= 0 \end{aligned} \right\} \dots\dots\dots (45)$$

なる様に常數 A_m, E_m を調節し, 求め得た常數を (39), (40), (41), (42), (43), (44) に代入する時は,

$$u' = \sum_{n=0}^{\infty} \alpha_n \int_0^{\infty} \frac{\{(\lambda + 3\mu) + 2(\lambda + \mu)k\xi\} k^{n-1} z e^{-k(\xi-z)}}{2\mu (n!)} \frac{\partial J_0(kr)}{\partial k} dk$$

$$\begin{aligned}
 & \times \int_0^\pi f(\theta) P_n(\cos \theta) \sin \theta d\theta \\
 & + \sum_{n=0}^\infty \alpha_n \int_0^\infty \frac{\{2\mu(\lambda+2\mu) + (\lambda+\mu)(\lambda+3\mu)k\xi\}}{2\mu(\lambda+\mu)(n!)} e^{-k(\xi-z)} \frac{\partial J_0(kr)}{\partial r} k^{n-2} dk \\
 & \quad \times \int_0^\pi f(\theta) P_n(\cos \theta) \sin \theta d\theta \\
 & + \sum_{n=1}^{n=3} \beta_n \int_0^\infty \frac{\{(\lambda+3\mu) + 2(\lambda+\mu)k\xi\} k^{n-1} z e^{-k(\xi-z)}}{2(n!) \mu} \frac{\partial J_0(kr)}{\partial r} dk \\
 & + \sum_{n=1}^{n=3} \beta_n \int_0^\infty \frac{\{2\mu(\lambda+2\mu) + (\lambda+\mu)(\lambda+3\mu)k\xi\}}{2\mu(\lambda+\mu)(n!)} e^{-k(\xi-z)} \frac{\partial J_0(kr)}{\partial r} k^{n-2} dk \\
 & + \sum_{n=0}^\infty \gamma_n \int_0^\infty \frac{2z}{(n!)} e^{-k(\xi-z)} \frac{\partial J_0(kr)}{\partial r} k^{n+1} dk \int_0^\pi f(\theta) P_n(\cos \theta) \sin \theta d\theta \\
 & + \sum_{n=0}^\infty \frac{(\lambda+3\mu)\gamma_n}{(\lambda+\mu)(n!)} \int_0^\infty e^{-k(\xi-z)} \frac{\partial J_0(kr)}{\partial r} k^n dk \int_0^\pi f(\theta) P_n(\cos \theta) \sin \theta d\theta \\
 & + \sum_{n=1}^{n=3} \delta_n \int_0^\infty \frac{2z}{(n!)} e^{-k(\xi-z)} \frac{\partial J_0(kr)}{\partial r} k^{n+1} dk \\
 & + \sum_{n=1}^{n=3} \frac{(\lambda+3\mu)\delta_n}{(\lambda+\mu)(n!)} \int_0^\infty e^{-k(\xi-z)} \frac{\partial J_0(kr)}{\partial r} k^n dk, \dots\dots\dots (45) \\
 w' = & - \sum_{n=0}^\infty \alpha_n \int_0^\infty \frac{\{(\lambda+3\mu) + 2(\lambda+\mu)k\xi\} e^{-k(\xi-z)} k^{n-1}}{2(\lambda+\mu)(n!)} J_0(kr) \left\{ \frac{(\lambda+3\mu)}{\mu} - \frac{(\lambda+\mu)}{\mu} kz \right\} \\
 & dk \times \int_0^\pi f(\theta) P_n(\cos \theta) \sin \theta d\theta \\
 & + \sum_{n=0}^\infty \alpha_n \int_0^\infty \frac{\{2\mu(\lambda+2\mu) + (\lambda+\mu)(\lambda+3\mu)k\xi\}}{2\mu(\lambda+\mu)(n!)} e^{-k(\xi-z)} k^{n-1} J_0(kr) dk \\
 & \quad \times \int_0^\pi f(\theta) P_n(\cos \theta) \sin \theta d\theta \\
 & - \sum_{n=1}^{n=3} \beta_n \int_0^\infty \frac{\{(\lambda+3\mu) + 2(\lambda+\mu)k\xi\} e^{-k(\xi-z)} k^{n-1}}{2(n!)(\lambda+\mu)} \\
 & \quad J_0(kr) \left\{ \frac{(\lambda+3\mu)}{\mu} - \frac{(\lambda+\mu)}{\mu} kz \right\} dk \\
 & + \sum_{n=1}^{n=3} \beta_n \int_0^\infty \frac{\{2\mu(\lambda+2\mu) + (\lambda+\mu)(\lambda+3\mu)k\xi\}}{2\mu(\lambda+\mu)(n!)} e^{-k(\xi-z)} J_0(rk) k^{n-1} dk \\
 & + \sum_{n=0}^\infty \frac{2z\gamma_n}{(n!)} \int_0^\infty e^{-(\xi-z)} J_0(kr) k^{n+2} dk \int_0^\pi f(\theta) P_n(\cos \theta) \sin \theta d\theta
 \end{aligned}$$

$$\begin{aligned}
 & - \sum_{n=0}^{\infty} \frac{(\lambda + 3\mu)\gamma_n}{(\lambda + \mu)(n!)} \int_0^{\infty} e^{-k(\xi-z)} J_0(kr) k^{n+1} dk \int_0^{\pi} f(\theta) P_n(\cos \theta) \sin \theta d\theta \\
 & + \sum_{n=1}^{n=3} \frac{2z\delta_n}{(n!)} \int_0^{\infty} e^{-k(\xi-z)} J_0(kr) k^{n+2} dk \\
 & - \sum_{n=1}^{n=3} \frac{(\lambda + 3\mu)\delta_n}{(\lambda + \mu)(n!)} \int_0^{\infty} e^{-k(\xi-z)} J_0(kr) k^{n+1} dk, \dots \dots \dots (46)
 \end{aligned}$$

$$\begin{aligned}
 \widehat{r}r' = & - \sum_{n=0}^{\infty} \alpha_n \int_0^{\infty} \frac{\lambda\{(\lambda + 3\mu) + 2(\lambda + \mu)k\xi\} e^{-k(\xi-z)} k^n}{(\lambda + \mu)n!} J_0(kr) dk \\
 & \times \int_0^{\pi} f(\theta) P_n(\cos \theta) \sin \theta d\theta \\
 & + z \sum_{n=0}^{\infty} \alpha_n \int_0^{\infty} \frac{\{(\lambda + 3\mu) + 2(\lambda + \mu)k\xi\} e^{-k(\xi-z)} k^n}{n!} \frac{\partial^2 J_0(kr)}{\partial r^2} dk \\
 & \times \int_0^{\pi} f(\theta) P_n(\cos \theta) \sin \theta d\theta \\
 & + \sum_{n=0}^{\infty} \alpha_n \int_0^{\infty} \frac{\{2\mu(\lambda + 2\mu) + (\lambda + \mu)(\lambda + 3\mu)k\xi\}}{n!} k^n e^{-k(\xi-z)} \frac{\partial^2 J_0(kr)}{\partial r^2} dk \\
 & \times \int_0^{\pi} f(\theta) P_n(\cos \theta) \sin \theta d\theta \\
 & + \sum_{n=1}^{n=3} \beta_n \int_0^{\infty} \frac{\lambda\{(\lambda + 3\mu) + 2(\lambda + \mu)k\xi\} e^{-k(\xi-z)} k^n}{(\lambda + \mu)n!} J_0(kr) dk \\
 & + z \sum_{n=1}^{n=3} \beta_n \int_0^{\infty} \frac{\{(\lambda + 3\mu) + 2(\lambda + \mu)k\xi\} e^{-k(\xi-z)} k^n}{n!} \frac{\partial^2 J_0(kr)}{\partial r^2} dk \\
 & + \sum_{n=1}^{n=3} \beta_n \int_0^{\infty} \frac{\{2\mu(\lambda + 2\mu) + (\lambda + \mu)(\lambda + 3\mu)k\xi\}}{n!} k^n e^{-k(\xi-z)} \frac{\partial^2 J_0(kr)}{\partial r^2} dk \\
 & - \frac{4\mu\lambda}{(\lambda + \mu)} \sum_{n=0}^{\infty} \gamma_n \int_0^{\infty} \frac{e^{-k(\xi-z)}}{n!} J_0(kr) k^{n+2} dk \int_0^{2\pi} f(\theta) P_n(\cos \theta) \sin \theta d\theta \\
 & + 4\mu z \sum_{n=0}^{\infty} \gamma_n \int_0^{\infty} \frac{e^{-k(\xi-z)}}{n!} \frac{\partial^2 J_0(kr)}{\partial r^2} k^{n+1} dk \int_0^{2\pi} f(\theta) P_n(\cos \theta) \sin \theta d\theta \\
 & + \frac{2\mu(\lambda + 3\mu)}{(\lambda + \mu)} \sum_{n=0}^{\infty} \gamma_n \int_0^{\infty} \frac{e^{-k(\xi-z)}}{n!} \frac{\partial^2 J_0(kr)}{\partial r^2} k^n dk \int_0^{2\pi} f(\theta) P_n(\cos \theta) \sin \theta d\theta \\
 & - \frac{4\mu\lambda}{(\lambda + \mu)} \sum_{n=1}^{n=3} \delta_n \int_0^{\infty} \frac{e^{-k(\xi-z)}}{n!} J_0(kr) k^{n+2} dk \\
 & + 4\mu z \sum_{n=1}^{n=3} \delta_n \int_0^{\infty} \frac{e^{-k(\xi-z)}}{n!} \frac{\partial^2 J_0(kr)}{\partial r^2} k^{n+1} dk
 \end{aligned}$$

$$+ \frac{2\mu(\lambda+3\mu)}{(\lambda+\mu)} \sum_{n=1}^{n=3} \delta_n \int_0^\infty \frac{e^{-k(\xi-z)}}{n!} \frac{\partial^2 J_0(kr)}{\partial r^2} k^n dk, \dots\dots\dots (47)$$

$$\begin{aligned} \widehat{\theta\theta'} = & - \sum_{n=0}^{\infty} \alpha_n \int_0^\infty \frac{\lambda\{(\lambda+3\mu)+2(\lambda+\mu)k\xi\} e^{-k(\xi-z)} k^n}{(\lambda+\mu)n!} J_0(kr) dk \\ & \times \int_0^\pi f(\theta) P_n(\cos\theta) \sin\theta d\theta \\ & + z \sum_{n=0}^{\infty} \alpha_n \int_0^\infty \frac{\{(\lambda+3\mu)+2(\lambda+\mu)k\xi\} e^{-k(\xi-z)} \frac{1}{r} \frac{\partial J_0(kr)}{\partial r}}{n!} k^n dk \\ & \times \int_0^\pi f(\theta) P_n(\cos\theta) \sin\theta d\theta \\ & + \sum_{n=0}^{\infty} \alpha_n \int_0^\infty \frac{\{2\mu(\lambda+2\mu)+(\lambda+\mu)(\lambda+3\mu)k\xi\} e^{-k(\xi-z)} \frac{1}{r} \frac{\partial J_0(kr)}{\partial r}}{n!} k^n dk \\ & \times \int_0^\pi f(\theta) P_n(\cos\theta) \sin\theta d\theta \\ & - \sum_{n=1}^{n=3} \beta_n \int_0^\infty \frac{\lambda\{(\lambda+3\mu)+2(\lambda+\mu)k\xi\} e^{-k(\xi-z)} J_0(kr) k^n}{(\lambda+\mu)(n!)} dk \\ & + z \sum_{n=1}^{n=3} \beta_n \int_0^\infty \frac{\{(\lambda+3\mu)+2(\lambda+\mu)k\xi\} e^{-k(\xi-z)} \frac{1}{r} \frac{\partial J_0(kr)}{\partial r}}{n!} k^n dk \\ & + \sum_{n=1}^{n=3} \beta_n \int_0^\infty \frac{\{2\mu(\lambda+2\mu)+(\lambda+\mu)(\lambda+3\mu)k\xi\} e^{-k(\xi-z)} \frac{1}{r} \frac{\partial J_0(kr)}{\partial r}}{n!} k^n dk \\ & - \frac{4\mu\lambda}{(\lambda+\mu)} \sum_{n=0}^{\infty} \gamma_n \int_0^\infty \frac{e^{-k(\xi-z)}}{n!} J_0(kr) k^{n+2} dk \int_0^\pi f(\theta) P_n(\cos\theta) \sin\theta d\theta \\ & + 4\mu z \sum_{n=0}^{\infty} \gamma_n \int_0^\infty \frac{e^{-k(\xi-z)}}{n!} \frac{1}{r} \frac{\partial J_0(kr)}{\partial r} k^{n+1} dk \int_0^\pi f(\theta) P_n(\cos\theta) \sin\theta d\theta \\ & + \frac{2\mu(\lambda+3\mu)}{(\lambda+\mu)} \sum_{n=0}^{\infty} \gamma_n \int_0^\infty \frac{e^{-k(\xi-z)}}{n!} \frac{1}{r} \frac{\partial J_0(kr)}{\partial r} k^n dk \int_0^\pi f(\theta) P_n(\cos\theta) \sin\theta d\theta \\ & - \frac{4\mu\lambda}{(\lambda+\mu)} \sum_{n=1}^{n=3} \delta_n \int_0^\infty \frac{e^{-k(\xi-z)}}{n!} J_0(kr) k^{n+2} dk \\ & + 4\mu z \sum_{n=1}^{n=3} \delta_n \int_0^\infty \frac{e^{-k(\xi-z)}}{n!} \frac{1}{r} \frac{\partial J_0(kr)}{\partial r} k^{n+1} dk \\ & + \frac{2\mu(\lambda+3\mu)}{(\lambda+\mu)} \sum_{n=1}^{n=3} \delta_n \int_0^\infty \frac{e^{-k(\xi-z)}}{n!} \frac{1}{r} \frac{\partial J_0(kr)}{\partial r} k^n dk, \dots\dots\dots (48) \\ \widehat{zz'} = & - \sum_{n=0}^{\infty} \alpha_n \int_0^\infty \frac{\{(\lambda+2\mu)-(\lambda+\mu)kz\}}{(\lambda+\mu)n!} \{(\lambda+3\mu)+2(\lambda+\mu)k\xi\} e^{-k(\xi-z)} J_0(kr) k^n dk \end{aligned}$$

$$\begin{aligned}
 & \times \int_0^\pi f(\theta) P_n(\cos \theta) \sin \theta \, d\theta \\
 & + \sum_{n=0}^{\infty} \alpha_n \int_0^\infty \frac{\{2\mu(\lambda+2\mu) + (\lambda+\mu)(\lambda+3\mu)k\xi\}}{(\lambda+\mu)n!} e^{-k(\xi-z)} J_0(kr) k^n dk \\
 & \quad \times \int_0^\pi f(\theta) P_n(\cos \theta) \sin \theta \, d\theta \\
 & - \sum_{n=1}^{n=3} \beta_n \int_0^\infty \frac{\{(\lambda+3\mu) + 2(\lambda+\mu)k\xi\} \{(\lambda+2\mu) - (\lambda+\mu)kz\}}{(\lambda+\mu)(n!)} \\
 & \quad J_0(kr) e^{-k(\xi-z)} k^n dk \\
 & + \sum_{n=1}^{\infty} \beta_n \int_0^\infty \frac{\{2\mu(\lambda+2\mu) + (\lambda+\mu)(\lambda+3\mu)k\xi\}}{n!(\lambda+\mu)} e^{-k(\xi-z)} J_0(kr) k^n dk \\
 & - 2\mu \sum_{n=0}^{\infty} \gamma_n \int_0^\infty \frac{e^{-k(\xi-z)}}{n!} J_0(kr) k^{n+2} dk \int_0^\pi f(\theta) P_n(\cos \theta) \sin \theta \, d\theta \\
 & + 4\mu z \sum_{n=0}^{\infty} \gamma_n \int_0^\infty \frac{e^{-k(\xi-z)}}{n!} J_0(kr) k^{n+3} dk \int_0^\pi f(\theta) P_n(\cos \theta) \sin \theta \, d\theta \\
 & - 2\mu \sum_{n=1}^{n=3} \delta_n \int_0^\infty \frac{e^{-k(\xi-z)}}{n!} J_0(kr) k^{n+2} dk \\
 & + 4\mu z \sum_{n=1}^{n=3} \delta_n \int_0^\infty \frac{e^{-k(\xi-z)}}{n!} J_0(kr) k^{n+3} dk, \dots \dots \dots (49) \\
 \widehat{rz}' = & - \sum_{n=0}^{\infty} \alpha_n \int_0^\infty \frac{\{(\lambda+3\mu) + 2(\lambda+\mu)k\xi\} \{\mu - (\lambda+\mu)kz\}}{n!(\lambda+\mu)} e^{-k(\xi-z)} \frac{\partial J_0(kr)}{\partial r} k^{n-1} dk \\
 & \times \int_0^\pi f(\theta) P_n(\cos \theta) \sin \theta \, d\theta \\
 & + \sum_{n=0}^{\infty} \alpha_n \int_0^\infty \frac{\{2\mu(\lambda+2\mu) + (\lambda+\mu)(\lambda+3\mu)k\xi\}}{(\lambda+\mu)(n!)} e^{-k(\xi-z)} \frac{\partial J_0(kr)}{\partial r} k^{n-1} dk \\
 & \quad \times \int_0^\pi f(\theta) P_n(\cos \theta) \sin \theta \, d\theta \\
 & - \sum_{n=1}^{n=3} \beta_n \int_0^\infty \frac{\{(\lambda+3\mu) + 2(\lambda+\mu)k\xi\} \{\mu - (\lambda+\mu)kz\}}{(\lambda+\mu)(n!)} e^{-k(\xi-z)} \frac{\partial J_0(kr)}{\partial r} k^{n-1} dk \\
 & + \sum_{n=1}^{n=3} \beta_n \int_0^\infty \frac{\{2\mu(\lambda+2\mu) + (\lambda+\mu)(\lambda+3\mu)k\xi\}}{(\lambda+\mu)(n!)} e^{-k(\xi-z)} \frac{\partial J_0(kr)}{\partial r} k^{n-1} dk \\
 & - \sum_{n=0}^{\infty} \gamma_n \frac{4\mu}{(\lambda+\mu)} \int_0^\infty \{\mu - (\lambda+\mu)kz\} \frac{e^{-k(\xi-z)}}{n!} \frac{\partial J_0(kr)}{\partial r} k^{n+1} dk \\
 & \quad \times \int_0^\pi f(\theta) P_n(\cos \theta) \sin \theta \, d\theta
 \end{aligned}$$

$$\begin{aligned}
 &+ 2\mu \sum_{n=0}^{\infty} \gamma_n \int_0^{\infty} \frac{(\lambda + 3\mu)}{(\lambda + \mu)} \frac{e^{-k(\xi-z)}}{n!} \frac{\partial J_0(kr)}{\partial r} k^{n+1} dk \int_0^{\pi} f(\theta) P_n(\cos \theta) \sin \theta d\theta \\
 &- \sum_{n=1}^{n=3} \delta_n \int_0^{\infty} \frac{4\mu}{(\lambda + \mu)} \{ \mu - (\lambda + \mu)kz \} \frac{e^{-k(\xi-z)}}{n!} \frac{\partial J_0(kr)}{\partial r} k^{n+1} dk \\
 &+ 2\mu \sum_{n=1}^{n=3} \delta_n \int_0^{\infty} \frac{(\lambda + 3\mu)}{(\lambda + \mu)} \frac{e^{-k(\xi-z)}}{n!} \frac{\partial J_0(kr)}{\partial r} k^{n+1} dk. \dots\dots\dots (50)
 \end{aligned}$$

但し (45)~(50) に於て.

$$\left. \begin{aligned}
 \alpha_n &= - \frac{(2n-1)nA^{n+1}}{\{(2n^2+1)\lambda + 2(n^2+n+1)\mu\}}, \\
 \gamma_n &= \frac{\{(n^2-1)\lambda + (n^2-2)\mu\}A^{n+3}}{2(n+2)\{(2n^2+1)\lambda + 2(n^2+n+1)\mu\}\mu}, \\
 \beta_1 &= - \frac{\rho g A^3}{3(\lambda + 2\mu)}, \\
 \beta_2 &= \frac{20\mu\rho g \xi A^3}{(\lambda + 2\mu)(9\lambda + 14\mu)}, \\
 \beta_3 &= - \frac{28\mu\rho g A^5}{(\lambda + 2\mu)(19\lambda + 26\mu)}, \\
 \delta_1 &= \frac{\rho g A^5}{90(\lambda + 2\mu)}, \\
 \delta_2 &= - \frac{2(\lambda + \mu)\rho g A^5}{(\lambda + 2\mu)(9\lambda + 14\mu)}, \\
 \delta_3 &= - \frac{2\rho g(\lambda + \mu)A^7}{(\lambda + 2\lambda)(19\lambda + 26\mu)}.
 \end{aligned} \right\} \dots\dots (51)$$

勿論 (51) の A は球状空窩の半徑を意味してゐる。

以上 (45), (46), (47), (48), (49), (50) によつて (27), (28), (29), (30), (31), 及 (32) で表された變位及び應力を弾性體の表面 $z=0$ に於てこれを自由面ならしめる様に調節する事が出来た。従つて本問題で求むべき結果即ち重力の作用せる半無限弾性體内に存在する球状空窩に作用する壓力の爲めに生ずる弾性體内殊に $z=0$ 即ち表面近くでの變形及び應力は次式で完全に解決する事が出来る。即ち求むる變位を U, W , 應力分力を $\widehat{rr}, \widehat{\theta\theta}, \widehat{zz}, \widehat{rz}$ とすれば

$$\left. \begin{aligned}
 U &= u(27) + u'(45), \\
 W &= w(28) + w'(46), \\
 \widehat{rr} &= \widehat{rr}(29) + \widehat{rr}'(47), \\
 \widehat{\theta\theta} &= \widehat{\theta\theta}(30) + \widehat{\theta\theta}'(48),
 \end{aligned} \right\} \dots\dots\dots (52)$$

$$\left. \begin{aligned} \widehat{z z} &= \widehat{z z}(31) + \widehat{z z}'(49), \\ \widehat{r z} &= \widehat{r z}(32) + \widehat{r z}'(50). \end{aligned} \right\}$$

これ等の結果を数計算によつて、球状空窩の内面に作用する壓力の $f(\theta)$ なる分布状態を具體的に色々與へて (52) を圖示すれば色々面白い性質のある事が發見せらる筈である。この具體的の研究は次の機會に譲る事にして、以下單に重力の作用を考へないで、半無限彈性體の内部に球状空窩のある時これに次の様な分布の壓力が作用してゐる場合の $z=0$ 即ち表面での彈性問題を研究しておく。

3. $R=A$ なる球状空窩の内面に於て、

$$\left. \begin{aligned} \widehat{R\theta} &= 0, \\ \widehat{RR} &= -P P_n(\cos \theta) \end{aligned} \right\} \dots\dots\dots (53)$$

なる様な壓力が作用してゐる時 $z=0$ 即ち彈性體 (重力の作用を無視した彈性體) の表面での變位 V, W 及び應力 $\widehat{r r}, \widehat{\theta \theta}$ を求めてみると次の様になる。(勿論この結果は (52) を利用して解決したものである。尙 $z=0$ では $\widehat{r z} = \widehat{z z} = 0$ である。)

$$\begin{aligned} U_{z=0} &= \frac{\{(n^2-1)\lambda + (n^2-2)\mu\} A^{n+3} P}{(n+2)\{(2n^2+1)\lambda + 2(n^2+n+1)\mu\} \mu(n!)} \frac{(\lambda+2\mu)}{(\lambda+\mu)} \int_0^\infty e^{-k\xi} \frac{\partial J_0(kr)}{\partial r} k^n dk \\ &\quad - \frac{n(2n-1)A^{n+1} P}{2\{(2n^2+1)\lambda + 2(n^2+n+1)\mu\} \mu(n!)} \left[2\xi(\lambda+2\mu) \int_0^\infty e^{-k\xi} \frac{\partial J_0(kr)}{\partial r} k^{n-1} dk \right. \\ &\quad \left. + \frac{2\mu(\lambda+2\mu)}{(\lambda+\mu)} \int_0^\infty e^{-k\xi} \frac{\partial J_0(kr)}{\partial r} k^{n-2} dk \right], \dots\dots\dots (54) \end{aligned}$$

$$\begin{aligned} W_{z=0} &= - \frac{\{(n^2-1)\lambda + (n^2-2)\mu\} A^{n+3} P}{(n+2)\{(2n^2+1)\lambda + 2(n^2+n+1)\mu\} (n!)\mu} \frac{(\lambda+2\mu)}{(\lambda+\mu)} \\ &\quad \times \int_0^\infty e^{-k\xi} J_0(kr) k^{n+1} dk \\ &\quad + \frac{n(2n-1)A^{n+1} P}{\{2n^2+1\}\lambda + 2(n^2+n+1)\mu\} \mu(n!)} \left[(\lambda+3\mu) \int_0^\infty e^{-k\xi} J_0(kr) k^{n-1} dk \right. \\ &\quad \left. + \xi(\lambda+2\mu) \int_0^\infty e^{-k\xi} J_0(kr) k^n dk \right], \dots\dots\dots (55) \end{aligned}$$

$$\widehat{r z}_{z=0} = \widehat{z z}_{z=0} = 0, \dots\dots\dots (56)$$

$$\begin{aligned} \widehat{r r}_{z=0} &= \frac{2\lambda}{(n!)(\lambda+\mu)} \frac{n(2n-1)A^{n+1} P}{\{(2n^2+1)\lambda + 2(n^2+n+1)\mu\}} \\ &\quad \times \int_0^\infty \{\mu + (\lambda+\mu)k\xi\} e^{-k\xi} J_0(kr) k^n dk \end{aligned}$$

$$\begin{aligned}
 & \frac{1}{(n!)(\lambda + \mu)} \frac{n(2n-1)A^{n+1}P}{\{(2n^2+1)\lambda + 2(n^2+n+1)\mu\}} \\
 & \quad \times \int_0^\infty \{2\mu(\lambda + 2\mu) + (\lambda + \mu)(\lambda + 3\mu)k\xi\} e^{-k\xi} \frac{\partial^2 J_0(kr)}{\partial r^2} k^{n-2} dk \\
 & \frac{2\mu(\lambda + 2\mu)}{(n!)(\lambda + \mu)(n+2)} \frac{\{(n^2-1)\lambda + (n^2-2)\mu\} A^{n+3}P}{\{(2n^2+1)\lambda + 2(n^2+n+1)\mu\} \mu} \\
 & \quad \times \int_0^\infty e^{-k\xi} \frac{\partial^2 J_0(kr)}{\partial r^2} k^n dk \\
 & \frac{2\mu\lambda}{(n!)(\lambda + \mu)(n+2)} \frac{\{(n^2-1)\lambda + (n^2-2)\mu\} A^{n+3}P}{\{(2n^2+1)\lambda + 2(n^2+n+1)\mu\} \mu} \\
 & \quad \times \int_0^\infty e^{-k\xi} J_0(kr) k^{n+2} dk, \dots\dots\dots (57)
 \end{aligned}$$

$$\begin{aligned}
 \widehat{\theta\theta}_{z=0} = & \frac{2\lambda}{(n!)(\lambda + \mu)} \frac{n(2n-1)A^{n+1}P}{\{(2n^2+1)\lambda + 2(n^2+n+1)\mu\}} \\
 & \quad \times \int_0^\infty \{\mu + (\lambda + \mu)k\xi\} e^{-k\xi} J_0(kr) k^n dk \\
 & - \frac{2\lambda\{(n^2-1)\lambda + (n^2-2)\mu\} A^{n+3}P}{(n!)(\lambda + \mu)(n+2)\{(2n^2+1)\lambda + 2(n^2+n+1)\mu\}} \int_0^\infty e^{-k\xi} J_0(kr) k^{n+2} dk \\
 & + \frac{2(\lambda + 2\mu)\{(n^2-1)\lambda + (n^2-2)\mu\} A^{n+3}P}{(n!)(\lambda + \mu)(n+2)\{(2n^2+1)\lambda + 2(n^2+n+1)\mu\}} \\
 & \quad \times \int_0^\infty e^{-k\xi} \frac{1}{r} \frac{\partial J_0(kr)}{\partial r} k^n dk \\
 & - \frac{n(2n-1)A^{n+1}P}{(n!)(\lambda + \mu)\{2n^2+1\}\lambda + 2(n^2+n+1)\mu} \int_0^\infty \{2\mu(\lambda + 2\mu) + (\lambda + \mu) \\
 & \quad \times (\lambda + 3\mu)k\xi\} e^{-k\xi} \frac{1}{r} \frac{\partial J_0(kr)}{\partial r} k^{n-2} dk. (58)
 \end{aligned}$$

以上 (54), (55), (56), (57), (58) によつて夫々空窩に作用する壓力が $P_n(\cos \theta)$ で表される時の半無限弾性體の表面に於ける變形及び應力分布を研究する事が出来る。

今 $n=0$, $n=1$, 及び $n=2$ の場合に就て即ち空窩に働く壓力 \widehat{RR} が夫々 P_0 , $P_0 \cos \theta$, 及び $P_0 P_2(\cos \theta)$ の場合に就て研究を進めてみよう。

3 a. $n=0$:- (壓力が P_0 で一樣な場合)

$$R = A : -\widehat{RR} = P_0, \widehat{R\theta} = 0. \dots\dots\dots (59)$$

この場合表面では

$$U_{z=0} = -\frac{A^3 P_0 (\lambda + 2\mu)}{2\mu(\lambda + \mu)} \int_0^\infty e^{-k\xi} \frac{\partial J_0(kr)}{\partial r} dk, \dots\dots\dots (60)$$

$$W_{z=0} = \frac{A^3 P_0 (\lambda + 2\mu)}{2\mu(\lambda + \mu)} \int_0^\infty e^{-k\xi} J_0(kr) k dk, \dots\dots\dots (61)$$

$$\widehat{r}r_{z=0} = -\frac{(\lambda + 2\mu)}{(\lambda + \mu)} A^3 P_0 \int_0^\infty e^{-k\xi} \frac{J_1(kr)}{r} k dk + 2A^3 P_0 \int_0^\infty e^{-k\xi} J_0(kr) k^2 dk, \dots (62)$$

$$\widehat{\theta}\theta_{z=0} = \frac{(\lambda + 2\mu)}{(\lambda + \mu)} A^3 P_0 \int_0^\infty e^{-k\xi} \frac{J_1(kr)}{r} k dk + \frac{\lambda A^3 P_0}{(\lambda + \mu)} \int_0^\infty e^{-k\xi} J_0(kr) k^2 dk. \dots (63)$$

即ちこれを書きなほして,

$$U_{z=0} = \frac{A^3 P_0 (\lambda + 2\mu)}{2\mu(\lambda + \mu)} \frac{r}{(r^2 + \xi^2)^{3/2}}, \dots\dots\dots (60)'$$

$$W_{z=0} = \frac{A^3 P_0 (\lambda + 2\mu)}{2\mu(\lambda + \mu)} \frac{\xi}{(r^2 + \xi^2)^{3/2}}, \dots\dots\dots (61)'$$

$$\widehat{r}r_{z=0} = -\frac{(\lambda + 2\mu)}{(\lambda + \mu)} \frac{A^3 P_0}{(r^2 + \xi^2)^{3/2}} + 2A^3 P_0 \frac{(2\xi^2 - r^2)}{(r^2 + \xi^2)^{5/2}}, \dots\dots (62)'$$

$$\widehat{\theta}\theta_{z=0} = \frac{(\lambda + 2\mu)}{(\lambda + \mu)} \frac{A^3 P_0}{(r^2 + \xi^2)^{3/2}} + \frac{\lambda}{(\lambda + \mu)} A^3 P_0 \frac{(2\xi^2 - r^2)}{(r^2 + \xi^2)^{5/2}}. \dots (63)'$$

今弾性體のポアツソン比を 1/4 とし, 縦弾性係数を E とすれば,

$$U_{z=0} = \frac{15 PA}{8 E} \left(\frac{A}{\xi}\right)^2 \frac{r/\xi}{\left\{\left(\frac{r}{\xi}\right)^2 + 1\right\}^{3/2}}, \dots\dots\dots (64)$$

$$W_{z=0} = \frac{15 PA}{8 E} \left(\frac{A}{\xi}\right)^2 \frac{1}{\left\{\left(\frac{r}{\xi}\right)^2 + 1\right\}^{3/2}}, \dots\dots\dots (65)$$

$$\widehat{r}r_{z=0} = P_0 \left(\frac{A}{\xi}\right)^3 \left[-\frac{3}{2\left\{\left(\frac{r}{\xi}\right)^2 + 1\right\}^{3/2}} + \frac{2\left\{2 - \left(\frac{r}{\xi}\right)^2\right\}}{\left\{\left(\frac{r}{\xi}\right)^2 + 1\right\}^{5/2}} \right], \dots (66)$$

$$\widehat{\theta}\theta_{z=0} = P_0 \left(\frac{A}{\xi}\right)^3 \left\{ \frac{3}{2\left\{\left(\frac{r}{\xi}\right)^2 + 1\right\}^{3/2}} + \frac{\left\{2 - \left(\frac{r}{\xi}\right)^2\right\}}{2\left\{\left(\frac{r}{\xi}\right)^2 + 1\right\}^{5/2}} \right\} \dots\dots (67)$$

次にポアツソン比が $\frac{1}{2}$ の時には,

$$U_{z=0} = \frac{3}{2} \frac{PA}{E} \left(\frac{A}{\xi}\right) \frac{\left(\frac{r}{\xi}\right)}{\left\{\left(\frac{r}{\xi}\right)^2 + 1\right\}^{3/2}}, \dots\dots\dots (68)$$

$$W_{z=0} = \frac{3}{2} \frac{PA}{E} \left(\frac{A}{\xi}\right)^2 \frac{1}{\left\{\left(\frac{r}{\xi}\right)^2 + 1\right\}^{3/2}}, \dots\dots\dots (69)$$

$$\widehat{r}r_{z=0} = P \left(\frac{A}{\xi}\right)^3 \left[\frac{-1}{\left\{\left(\frac{r}{\xi}\right)^2 + 1\right\}^{3/2}} + \frac{2\left\{2 - \left(\frac{r}{\xi}\right)^2\right\}}{\left\{\left(\frac{r}{\xi}\right)^2 + 1\right\}^{5/2}} \right], \dots\dots (70)$$

$$\widehat{\theta}\theta_{z=0} = P \left(\frac{A}{\xi}\right)^3 \left[\frac{1}{\left\{\left(\frac{r}{\xi}\right)^2 + 1\right\}^{3/2}} + \frac{\left\{2 - \left(\frac{r}{\xi}\right)^2\right\}}{\left\{\left(\frac{r}{\xi}\right)^2 + 1\right\}^{5/2}} \right], \dots\dots (71)$$

表面に於ける變形の量は内部に加へられる壓力の大きさ、空窩の大きさ即ち半径又空窩中心の深さ等に関係しており $PA^3/E\xi^2$ なる量に比例してゐる事がわかる。又表面上の應力は $P\left(\frac{A}{\xi}\right)^3$ に比例してをる。變位、應力の分布状態よりわかる事は、若し弾性體が主應力で破損が起るとせば $r=0$ の所で起り、最大剪斷應力で破損が起るとせば $r=\xi$ の所即ち深さと同じ位の距離だけ離れた所で圓形をなして破損が現れる。

3 b. $n=1$:—

空窩内面で

$$\left. \begin{aligned} \widehat{R}\theta &= 0, \\ \widehat{R}R &= -P_0 P_1(\cos \theta). \end{aligned} \right\} \dots\dots\dots (72)$$

この場合表面 $z=0$ では、

$$\begin{aligned} U_{z=0} &= \frac{A^2 P_0}{9(\lambda + \mu)} \int_0^\infty e^{-k\xi} J_1(kr) k^2 dk + \frac{A^2 \xi P_0}{3\mu} \int_0^\infty e^{-k\xi} J_1(kr) k dk \\ &\quad + \frac{A^2 P_0}{3(\lambda + \mu)} \int_0^\infty e^{-k\xi} J_1(kr) dk \\ &= \frac{A^4 P_0}{3(\lambda + \mu)} \frac{r\xi}{(r^2 + \xi^2)^{5/2}} + \frac{A^2 \xi P}{3\mu} \frac{r}{(r^2 + \xi^2)^{3/2}} \end{aligned}$$

$$+ \frac{A^2 P_0}{3(\lambda + \mu)} \frac{r\sqrt{r^2 + \xi^2} - \xi}{r\sqrt{r^2 + \xi^2}}, \dots\dots\dots (73)$$

$$\begin{aligned} W_{z=0} &= \frac{A^4 P_0}{9(\lambda + \mu)} \int_0^\infty e^{-k\xi} J_0(kr) k^2 dk + \frac{A^2 P_0(\lambda + 3\mu)}{3\mu(\lambda + 2\mu)} \int_0^\infty e^{-k\xi} J_0(kr) dk \\ &\quad + \frac{A^2 P_0 \xi}{3\mu} \int_0^\infty e^{-k\xi} J_0(kr) k dk \\ &= \frac{A^4 P_0}{9(\lambda + \mu)} \frac{2\xi^2 - r^2}{(r^2 + \xi^2)^{5/2}} + \frac{A^2 P_0(\lambda + 3\mu)}{3\mu(\lambda + 2\mu)} \frac{1}{(r^2 + \xi^2)^{1/2}} \\ &\quad + \frac{A^2 P_0 \xi^2}{3\mu(r^2 + \xi^2)^{3/2}} \dots\dots\dots (74) \end{aligned}$$

ポアツソン比が $\frac{1}{4}$ の時には,

$$\begin{aligned} U_{z=0} &= \frac{5A P_0}{12E} \left(\frac{A}{\xi}\right)^3 \frac{\frac{r}{\xi}}{\left\{\left(\frac{r}{\xi}\right)^2 + 1\right\}^{5/2}} + \frac{5A P_0}{6E} \left(\frac{A}{\xi}\right) \frac{\left(\frac{r}{\xi}\right)}{\left\{\left(\frac{r}{\xi}\right)^2 + 1\right\}^{3/2}} \\ &\quad + \frac{5A_0 P_0}{12E} \frac{\sqrt{\left\{\left(\frac{r}{\xi}\right)^2 + 1\right\}} - 1}{\left(\frac{r}{\xi}\right) \sqrt{\left(\frac{r}{\xi}\right)^2 + 1}} \left(\frac{A}{\xi}\right), \dots\dots\dots (75) \end{aligned}$$

$$\begin{aligned} W_{z=0} &= \frac{5A P_0}{36E} \left(\frac{A}{\xi}\right)^3 \frac{\left\{2 - \left(\frac{r}{\xi}\right)^2\right\}}{\left\{\left(\frac{r}{\xi}\right)^2 + 1\right\}^{5/2}} + \frac{20A P_0}{18E} \left(\frac{A}{\xi}\right) \frac{1}{\left\{\left(\frac{r}{\xi}\right)^2 + 1\right\}^{1/2}} \\ &\quad + \frac{5A P_0}{6E} \left(\frac{A}{\xi}\right) \frac{1}{\left\{\left(\frac{r}{\xi}\right)^2 + 1\right\}^{3/2}} \dots\dots\dots (76) \end{aligned}$$

ポアツソン比が $\frac{1}{2}$ の時には,

$$U_{z=0} = \frac{A P_0}{E} \left(\frac{A}{\xi}\right) \frac{\frac{r}{\xi}}{\left\{\left(\frac{r}{\xi}\right)^2 + 1\right\}^{3/2}}, \dots\dots\dots (77)$$

$$W_{z=0} = \frac{A P_0}{E} \left(\frac{A}{\xi}\right) \left[\frac{1}{\left\{\left(\frac{r}{\xi}\right)^2 + 1\right\}^{1/2}} + \frac{1}{\left\{\left(\frac{r}{\xi}\right)^2 + 1\right\}^{3/2}} \right] \dots\dots\dots (78)$$

3 c. $n=2$:—

空窩内面 $R=A$ に於て,

$$\left. \begin{aligned} \widehat{R}\theta &= 0, \\ \widehat{R}R &= -P_0 P_2(\cos\theta). \end{aligned} \right\} \dots\dots\dots (79)$$

この場合には表面 $z=0$ では變位及應力は次の如くなる.

$$\begin{aligned} U_{z=0} &= -\frac{(\lambda+2\mu)(3\lambda+2\pi)A^5 P_0}{8\mu(\lambda+\mu)(9\lambda+14\mu)} \int_0^\infty e^{-k\xi} J_1(kr) k^3 dk \\ &\quad + \frac{3(\lambda+2\mu)A^2 \xi P_0}{\mu(9\lambda+14\mu)} \int_0^\infty e^{-k\xi} J_1(kr) k^2 dk \\ &\quad + \frac{3(\lambda+2\mu)A^3 P_0}{(\lambda+\mu)(9\lambda+14\mu)} \int_0^\infty e^{-k\xi} J_1(kr) k dk \\ &= -\frac{3(\lambda+2\mu)(3\lambda+2\mu)}{8\mu(\lambda+\mu)(9\lambda+14\mu)} \frac{r(4\xi^2-r^2)A^5 P_0}{(r^2+\xi^2)^{7/2}} \\ &\quad + \frac{3(\lambda+2\mu)A^3 \xi P_0}{\mu(9\lambda+14\mu)} \frac{3r\xi}{(r^2+\xi^2)^{5/2}} \\ &\quad + \frac{3(\lambda+2\mu)A^3 P_0}{(\lambda+\mu)(9\lambda+14\mu)} \frac{r}{(r^2+\xi^2)^{3/2}}, \dots\dots\dots (80) \end{aligned}$$

$$\begin{aligned} W_{z=0} &= -\frac{(3\lambda+2\mu)A^5 P_0(\lambda+2\mu)}{8\mu(9\lambda+14\mu)(\lambda+\mu)} \int_0^\infty e^{-k\xi} J_0(kr) k^3 dk \\ &\quad + \frac{3(\lambda+3\mu)A^3 P_0}{\mu(9\lambda+14\mu)} \int_0^\infty e^{-k\xi} J_0(kr) k dk \\ &\quad + \frac{3(\lambda+2\mu)A^3 \xi P_0}{\mu(9\lambda+14\mu)} \int_0^\infty e^{-k\xi} J_0(kr) k^2 dk \\ &= -\frac{(\lambda+2\mu)(3\lambda+2\mu)A^5 P_0}{8\mu(\lambda+\mu)(9\lambda+14\mu)} \frac{3\xi(2\xi^2-3r^2)}{(r^2+\xi^2)^{7/2}} \\ &\quad + \frac{3(\lambda+3\mu)A^3 P_0}{\mu(9\lambda+14\mu)} \frac{\xi}{(r^2+\xi^2)^{3/2}} \\ &\quad + \frac{3(\lambda+2\mu)A^3 P_0 \xi}{\mu(9\lambda+14\mu)} \frac{(2\xi^2-r^2)}{(r^2+\xi^2)^{5/2}}, \dots\dots\dots (81) \end{aligned}$$

$$\begin{aligned} \widehat{r}r_{z=0} &= \frac{12\mu}{(9\lambda+14\mu)} A^3 P_0 \int_0^\infty e^{-k\xi} J_0(kr) k^2 dk \\ &\quad + \frac{9(\lambda+\mu)}{(9\lambda+14\mu)} A^3 \xi P_0 \int_0^\infty e^{-k\xi} J_0(kr) k^3 dk \end{aligned}$$

$$\begin{aligned}
 & - \frac{(3\lambda + 2\mu)(3\lambda + 4\mu)}{8(\lambda + \mu)(9\lambda + 14\mu)} A^5 P_0 \int_0^\infty e^{-k\xi} J_0(kr) k^4 dk \\
 & - \frac{6\mu(\lambda + 2\mu)}{(\lambda + \mu)(9\lambda + 14\mu)} \frac{A^3 P_0}{r} \int_0^\infty e^{-k\xi} J_1(kr) k dk \\
 & - \frac{3(\lambda + 3\mu)}{(9\lambda + 14\mu)} \frac{A^3 \xi P_0}{r} \int_0^\infty e^{-k\xi} J_1(kr) k^2 dk \\
 & + \frac{(\lambda + 2\mu)(3\lambda + 2\mu)}{4(\lambda + \mu)(9\lambda + 14\mu)} \frac{A^5 P_0}{r} \int_0^\infty e^{-k\xi} J_1(kr) k^3 dk \\
 = & \frac{12\mu A^3 P_0}{(9\lambda + 14\mu)} \frac{(2\xi^2 - r^2)}{(r^2 + \xi^2)^{5/2}} \\
 & + \frac{9(\lambda + \mu) A^3 P_0 \xi}{(9\lambda + 14\mu)} \frac{3\xi(2\xi^2 - 3r^2)}{(r^2 + \xi^2)^{7/2}} \\
 & - \frac{(3\lambda + 2\mu)(3\lambda + 4\mu) A^5 P_0}{8(\lambda + \mu)(9\lambda + 14\mu)} \frac{3\{3r^4 + 8\xi^4 - 24\xi^2 r^2\}}{(r^2 + \xi^2)^{9/2}} \\
 & - \frac{6\mu(\lambda + 2\mu) A^3 P_0}{(\lambda + \mu)(9\lambda + 14\mu)} \frac{1}{(r^2 + \xi^2)^{3/2}} \\
 & - \frac{3(\lambda + 3\mu) P_0 A^3 \xi}{(9\lambda + 14\mu)} \frac{3\xi}{(r^2 + \xi^2)^{5/2}} \\
 & + \frac{(\lambda + 2\mu)(3\lambda + 2\mu) A^5 P_0}{4(\lambda + \mu)(9\lambda + 14\mu)} \frac{3(4\xi^2 - r^2)}{(r^2 + \xi^2)^{7/2}}, \dots \dots \dots (82)
 \end{aligned}$$

$$\begin{aligned}
 \widehat{\theta}_{z=0} = & \frac{6\lambda\mu}{(\lambda + \mu)(9\lambda + 14\mu)} A^3 P_0 \int_0^\infty e^{-k\xi} J_0(kr) k^2 dk \\
 & + \frac{6\lambda}{(9\lambda + 14\mu)} A^3 \xi P_0 \int_0^\infty e^{-k\xi} J_0(kr) k^3 dk \\
 & - \frac{\lambda(3\lambda + 2\mu)}{4(\lambda + \mu)(9\lambda + 14\mu)} A^5 P_0 \int_0^\infty e^{-k\xi} J_0(kr) k^4 dk \\
 & + \frac{6\mu(\lambda + 2\mu)}{(\lambda + \mu)(9\lambda + 14\mu)} \frac{A^3 P_0}{r} \int_0^\infty e^{-k\xi} J_1(kr) k dk \\
 & + \frac{3(\lambda + 3\mu)}{(9\lambda + 14\mu)} \frac{A^3 \xi P_0}{r} \int_0^\infty e^{-k\xi} J_1(kr) k^2 dk \\
 & - \frac{(\lambda + 2\mu)(3\lambda + 2\mu)}{4(\lambda + \mu)(9\sigma + 14\mu)} \frac{A^5 P_0}{r} \int_0^\infty e^{-k\xi} J_1(kr) k^3 dk \\
 = & \frac{6\lambda\mu P_0}{(\lambda + \mu)(9\lambda + 14\mu)} \frac{A^3(2\xi^2 - r^2)}{(r^2 + \xi^2)^{5/2}} + \frac{18\lambda P_0}{(9\lambda + 14\mu)} \frac{A^3 \xi^2(2\xi^2 - 3r^2)}{(r^2 + \xi^2)^{7/2}}
 \end{aligned}$$

$$\begin{aligned}
& - \frac{3\lambda(3+2\mu)\mathbf{P}_0}{4(\lambda+\mu)(9\lambda+14\mu)} \frac{A^5(3r^4+8\xi^4-24r^2\xi^2)}{(r^2+\xi^2)^{9/2}} \\
& + \frac{6\mu(\lambda+2\mu)\mathbf{P}_0}{(\lambda+\mu)(9\lambda+14\mu)} \frac{A^3}{(r^2+\xi^2)^{3/2}} + \frac{9(\lambda+3\mu)\mathbf{P}_0}{(9\lambda+14\mu)} \frac{A^3\xi^2}{(r^2+\xi^2)^{5/2}} \\
& - \frac{3(\lambda+2\mu)(3\lambda+2\mu)\mathbf{P}_0}{4(\lambda+\mu)(9\lambda+14\mu)} \frac{A^5(4\xi^2-r^2)}{(r^2+\xi^2)^{7/2}}. \dots\dots\dots(83)
\end{aligned}$$

次にポアツソン比が $\frac{1}{4}$ の時には,

$$\begin{aligned}
U_{z=0} = & - \frac{225}{736} \frac{A\mathbf{P}_0}{E} \left(\frac{A}{\xi}\right)^4 \frac{\left\{4 - \left(\frac{r}{\xi}\right)^2\right\}}{\left\{\left(\frac{r}{\xi}\right)^2 + 1\right\}^{7/2}} + \frac{135}{46} \frac{A\mathbf{P}_0}{E} \left(\frac{A}{\xi}\right)^2 \frac{\left(\frac{r}{\xi}\right)}{\left\{\left(\frac{r}{\xi}\right)^2 + 1\right\}^{5/2}} \\
& + \frac{45}{46} \frac{A\mathbf{P}_0}{E} \left(\frac{A}{\xi}\right)^2 \frac{\left(\frac{r}{\xi}\right)}{\left\{\left(\frac{r}{\xi}\right)^2 + 1\right\}^{3/2}}, \dots\dots\dots(84)
\end{aligned}$$

$$\begin{aligned}
W_{z=0} = & - \frac{225}{736} \frac{A\mathbf{P}_0}{E} \left(\frac{A}{\xi}\right)^4 \frac{\left\{2 - 3\left(\frac{r}{\xi}\right)^2\right\}}{\left\{\left(\frac{r}{\xi}\right)^2 + 1\right\}^{7/2}} + \frac{60}{46} \frac{A\mathbf{P}_0}{E} \left(\frac{A}{\xi}\right)^2 \frac{1}{\left\{\left(\frac{r}{\xi}\right)^2 + 1\right\}^{3/2}} \\
& + \frac{45}{46} \frac{A\mathbf{P}_0}{E} \left(\frac{A}{\xi}\right)^2 \frac{\left\{2 - \left(\frac{r}{\xi}\right)^2\right\}}{\left\{\left(\frac{r}{\xi}\right)^2 + 1\right\}^{5/2}}, \dots\dots\dots(85)
\end{aligned}$$

$$\begin{aligned}
\widehat{rr}_{z=0} = & \frac{12}{23} \mathbf{P}_0 \left(\frac{A}{\xi}\right)^3 \frac{\left\{2 - \left(\frac{r}{\xi}\right)^2\right\}}{\left\{1 + \left(\frac{r}{\xi}\right)^2\right\}^{5/2}} + \frac{54}{23} \left(\frac{A}{\xi}\right)^3 \mathbf{P}_0 \frac{\left\{2 - 3\left(\frac{r}{\xi}\right)^2\right\}}{\left\{\left(\frac{r}{\xi}\right)^2 + 1\right\}^{7/2}} \\
& - \frac{105}{368} \left(\frac{A}{\xi}\right)^5 \mathbf{P}_0 \frac{\left\{3\left(\frac{r}{\xi}\right)^4 - 24\left(\frac{r}{\xi}\right)^2 + 8\right\}}{\left\{\left(\frac{r}{\xi}\right)^2 + 1\right\}^{9/2}} \\
& - \frac{9}{23} \left(\frac{A}{\xi}\right)^3 \mathbf{P}_0 \frac{1}{\left\{\left(\frac{r}{\xi}\right)^2 + 1\right\}^{3/2}} - \frac{36}{23} \left(\frac{A}{\xi}\right)^3 \mathbf{P}_0 \frac{1}{\left\{\left(\frac{r}{\xi}\right)^2 + 1\right\}^{5/2}}
\end{aligned}$$

$$\begin{aligned}
& + \frac{45}{184} \left(\frac{A}{\xi}\right)^5 P_0 \frac{\left\{4 - \left(\frac{r}{\xi}\right)^2\right\}}{\left\{\left(\frac{r}{\xi}\right)^2 + 1\right\}^{7/2}}, \quad \dots\dots\dots(86) \\
\widehat{\theta\theta}_{z=0} = & \frac{3}{23} \left(\frac{A}{\xi}\right)^3 P_0 \frac{\left\{2 - \left(\frac{r}{\xi}\right)^2\right\}}{\left\{\left(\frac{r}{\xi}\right)^2 + 1\right\}^{5/2}} + \frac{18}{23} \left(\frac{A}{\xi}\right)^3 P_0 \frac{\left\{2 - 3\left(\frac{r}{\xi}\right)^2\right\}}{\left\{\left(\frac{r}{\xi}\right)^2 + 1\right\}^{7/2}} \\
& - \frac{15}{184} \left(\frac{A}{\xi}\right)^5 P_0 \frac{\left\{3\left(\frac{r}{\xi}\right)^4 - 24\left(\frac{r}{\xi}\right)^2 + 8\right\}}{\left\{\left(\frac{r}{\xi}\right)^2 + 1\right\}^{9/2}} \\
& + \frac{9}{23} \left(\frac{A}{\xi}\right)^5 P_0 \frac{1}{\left\{\left(\frac{r}{\xi}\right)^2 + 1\right\}^{3/2}} + \frac{36}{23} \left(\frac{A}{\xi}\right)^3 P_0 \frac{1}{\left\{\left(\frac{r}{\xi}\right)^2 + 1\right\}^{5/2}} \\
& - \frac{45}{184} \left(\frac{A}{\xi}\right)^5 P_0 \frac{\left\{4 - \left(\frac{r}{\xi}\right)^2\right\}}{\left\{\left(\frac{r}{\xi}\right)^2 + 1\right\}^{7/2}}. \quad \dots\dots\dots(87)
\end{aligned}$$

ポアツソン比が $\frac{1}{2}$ の時には,

$$\begin{aligned}
U_{z=0} = & \frac{3}{8} \frac{A P_0}{E} \left(\frac{A}{\xi}\right)^4 \frac{\left\{4 - \left(\frac{r}{\xi}\right)^2\right\}}{\left\{\left(\frac{r}{\xi}\right)^2 + 1\right\}^{7/2}} \\
& + 3 \frac{A P_0}{E} \left(\frac{A}{\xi}\right)^2 \frac{\left(\frac{r}{\xi}\right)}{\left\{\left(\frac{r}{\xi}\right)^2 + 1\right\}^{5/2}}, \quad \dots\dots\dots(88)
\end{aligned}$$

$$\begin{aligned}
W_{z=0} = & - \frac{3}{8} \frac{A P_0}{E} \left(\frac{A}{\xi}\right)^4 \frac{\left\{2 - 3\left(\frac{r}{\xi}\right)^2\right\}}{\left\{\left(\frac{r}{\xi}\right)^2 + 1\right\}^{7/2}} + \frac{A P_0}{E} \left(\frac{A}{\xi}\right)^2 \frac{1}{\left\{\left(\frac{r}{\xi}\right)^2 + 1\right\}^{3/2}} \\
& + \frac{A P_0}{E} \left(\frac{A}{\xi}\right)^2 \frac{\left\{2 - \left(\frac{r}{\xi}\right)^2\right\}}{\left\{\left(\frac{r}{\xi}\right)^2 + 1\right\}^{5/2}}, \quad \dots\dots\dots(89)
\end{aligned}$$

$$\begin{aligned} \widehat{r}r_{z=0} = & 3P_0\left(\frac{A}{\xi}\right)^3 \frac{\left\{2-3\left(\frac{r}{\xi}\right)^2\right\}}{\left\{\left(\frac{r}{\xi}\right)^2+1\right\}^{7/2}} - \frac{3}{8}P_0\left(\frac{A}{\xi}\right)^5 \frac{\left\{3\left(\frac{r}{\xi}\right)^4-24\left(\frac{r}{\xi}\right)^2+8\right\}}{\left\{\left(\frac{r}{\xi}\right)^2+1\right\}^{9/2}} \\ & - P_0\left(\frac{A}{\xi}\right)^3 \frac{1}{\left\{\left(\frac{r}{\xi}\right)^2+1\right\}^{5/2}} + \frac{1}{4}P_0\left(\frac{A}{\xi}\right)^5 \frac{\left\{4-\left(\frac{r}{\xi}\right)^2\right\}}{\left\{\left(\frac{r}{\xi}\right)^2+1\right\}^{7/2}} \dots (90) \end{aligned}$$

$$\begin{aligned} \widehat{\theta}\theta_{z=0} = & 2P_0\left(\frac{A}{\xi}\right)^3 \frac{\left\{2-3\left(\frac{r}{\xi}\right)^2\right\}}{\left\{\left(\frac{r}{\xi}\right)^2+1\right\}^{7/2}} - \frac{1}{4}P_0\left(\frac{A}{\xi}\right)^5 \frac{\left\{3\left(\frac{r}{\xi}\right)^4-24\left(\frac{r}{\xi}\right)^2+8\right\}}{\left\{\left(\frac{r}{\xi}\right)^2+1\right\}^{9/2}} \\ & + P_0\left(\frac{A}{\xi}\right)^3 \frac{1}{\left\{\left(\frac{r}{\xi}\right)^2+1\right\}^{5/2}} - \frac{1}{4}P_0\left(\frac{A}{\xi}\right)^5 \frac{\left\{4-\left(\frac{r}{\xi}\right)^2\right\}}{\left\{\left(\frac{r}{\xi}\right)^2+1\right\}^{7/2}} \dots (91) \end{aligned}$$

以上數節に渡つて $n=0$, $n=1$, $n=2$ の場合に就て具體的の例を研究する事が出来たが、これは勿論今後行ふべき計算に對する豫備的なものである。 n が増加するに従つて表面に於ける主應力は $n=0$ の時の様に單に $\left(\frac{A}{\xi}\right)^3$ に比例すると云ふ様には云へなくなつて來る事もわかり、又變形量に就ても同様な事がわかる。

尙最後に杉原助教も著者と同じ様な計算であるが採鑛方面に關した研究を行つてゐる事を附加しておく。著者の計算は全く同助教に負ふ所が多いので、末筆ながら厚く御禮申上る。

26. *On the Deformation of the Semi-infinite Gravitating Elastic Solid due to the Force acting on the Surface of its Spherical Cavity. (I)*

By Genrokuro NISHIMURA,

Earthquake Research Institute.

The deformation and stress distribution are studied which are caused by the force given on the surface of a spherical cavity in it as a function of colatitude.